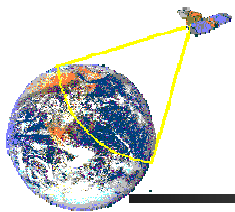


数字图像处理与分析

数字图像处理基本运算



数字图像处理基本运算

■ 图像的像素级运算

- 点运算——线性点运算、非线性点运算
- 代数运算——加法、减法、乘法、除法
- 逻辑运算——求反、异或、或、与

注：变换像素灰度值

■ 图像的空域变换

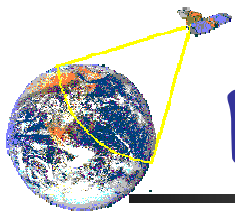
注：像素的坐标变换，其灰度值不变

- 几何变换
- 非几何变换

■ 基本概念—灰度直方图

■ 直方图变换

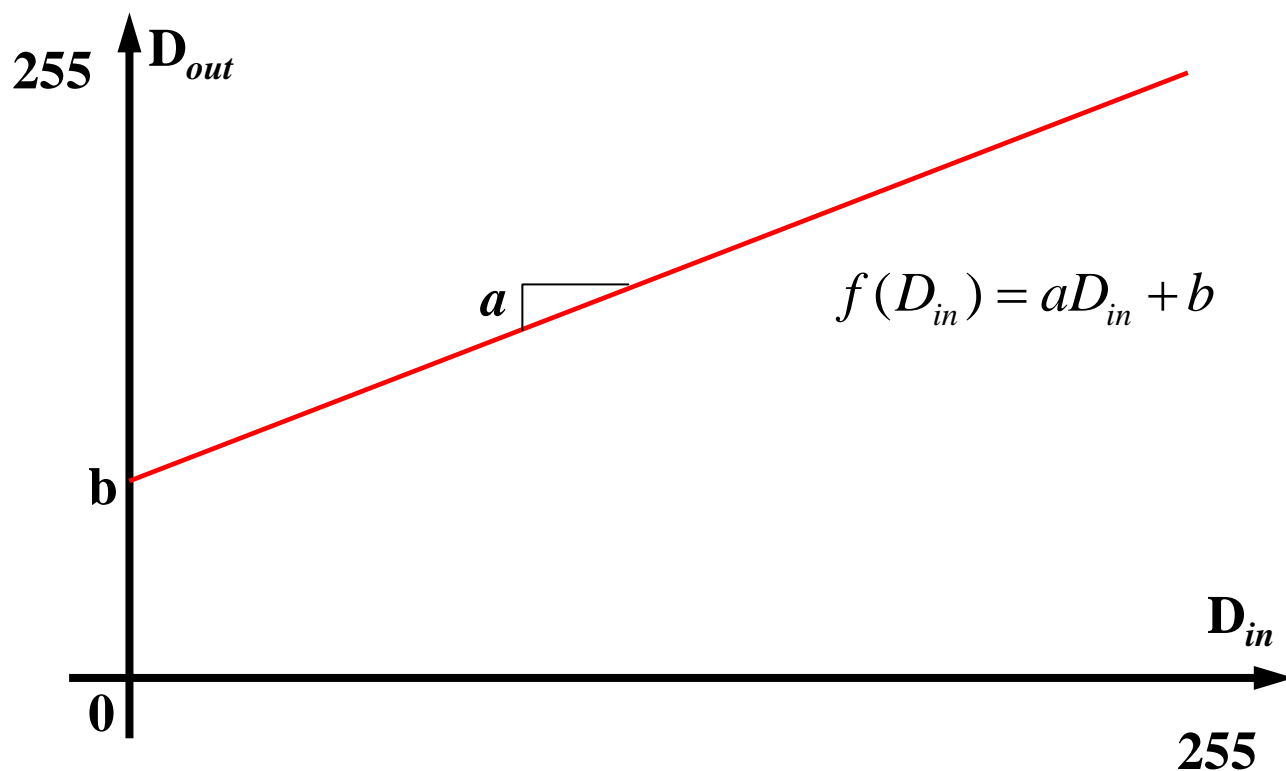
- 基本理论
- 直方图均衡

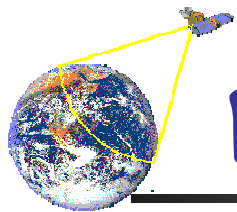


图像运算—点运算

■ 线性点运算

$$D_{out} = f(D_{in}) = aD_{in} + b$$





图像运算—点运算

■ 线性点运算

$$I_{out}(x, y) = a * I_{in}(x, y) + b$$

➤ $a=1, b=0$:

恒等

➤ $a<0$:

黑白反转

➤ $|a|>1$:

增加对比度

➤ $|a|<1$:

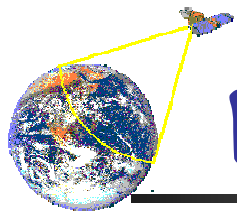
减小对比度

➤ $b>0$:

增加亮度

➤ $b<0$:

减小亮度



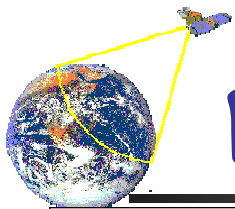
图像运算—点运算

■ 非线性点运算

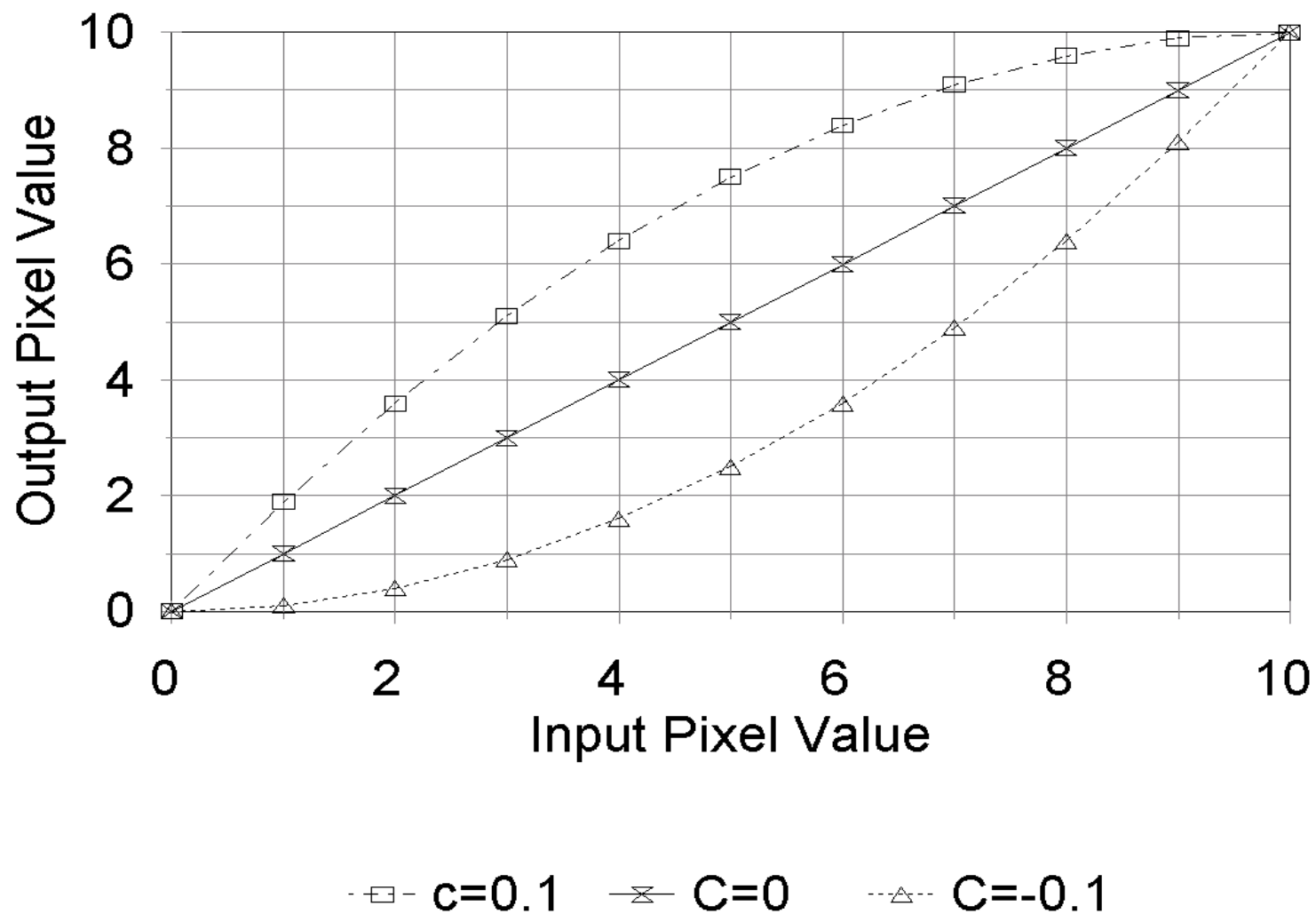
$$f(I(x, y)) = I(x, y) + C * I(x, y) * (I(x, y)_m - I(x, y))$$

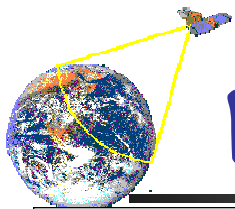
➤ $C > 0$, 增强中间部分亮度

➤ $C < 0$, 减小中间部分亮度

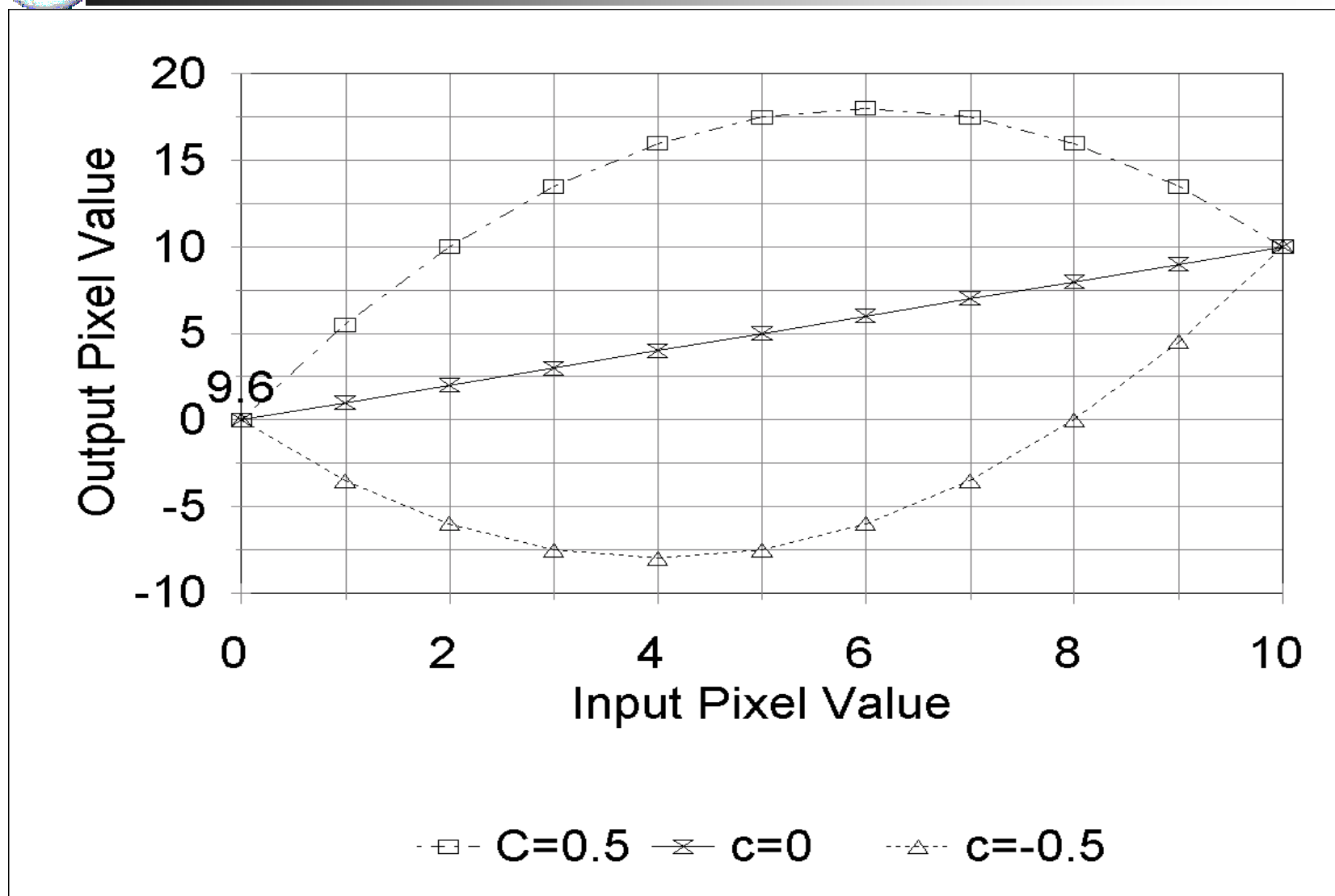


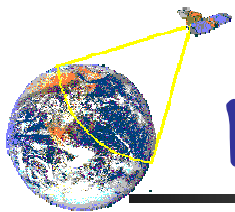
图像运算—点运算





图像运算—点运算

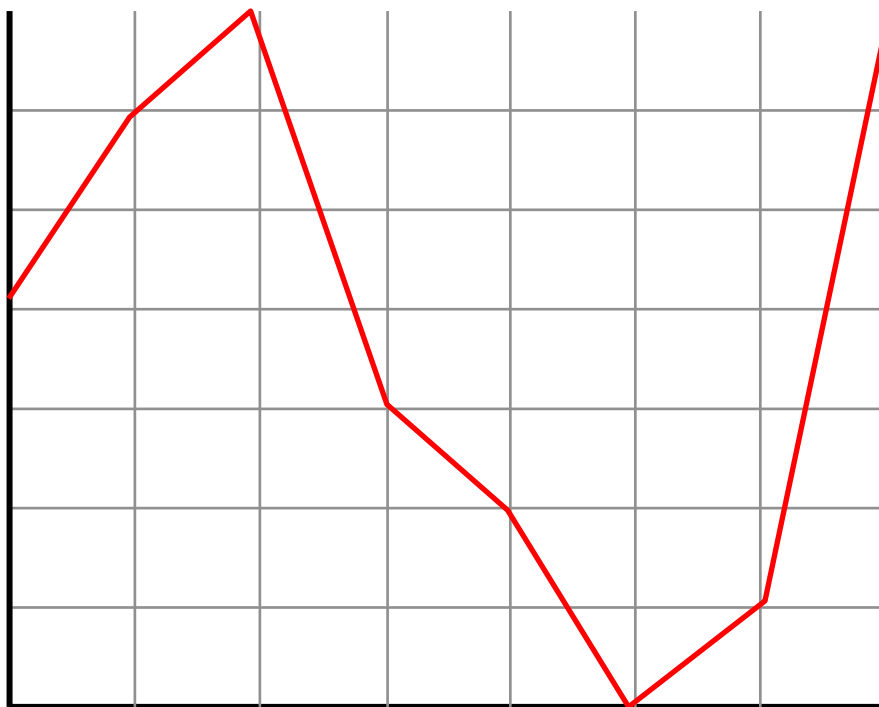


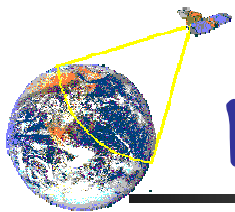


图像运算—点运算

■ 映射表点运算

输入 <u>像素值</u>	0	1	2	3	4	5	6	7
输出 <u>像素值</u>	4	6	7	3	2	0	1	5



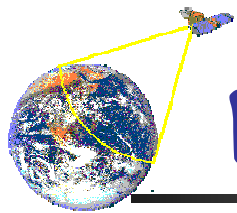


图像运算——点运算

■ 点运算特点

- 点运算针对图像中的每一个像素灰度，独立地进行灰度值的改变
- 输出图像中每个像素点的灰度值，仅取决于相应输入像素点的值
- 点运算不改变图像内的空间关系
- 从像素到像素的操作
- 点运算可完全由灰度变换函数或灰度映射表确定

■ 实例——“对比度增强、对比度拉伸、灰度变换”



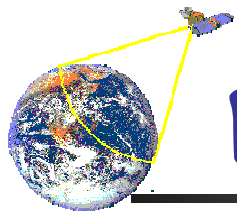
图像运算—代数运算

■ 加法运算的定义

$$C(x,y) = A(x,y) + B(x,y)$$

■ 主要应用举例

- 去除“叠加性”噪音
- 生成图像叠加效果



图像运算—代数运算

■ 去除“叠加性”噪音

对于原图像 $f(x, y)$ ，有一个噪音图像集

$$\{ g_i(x, y) \} \quad i = 1, 2, \dots, M$$

其中： $g_i(x, y) = f(x, y) + h(x, y)_i$

M 个图像的均值定义为：

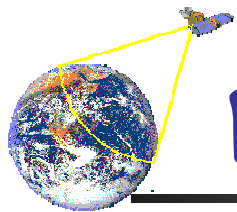
$$g(x, y) = (g_0(x, y) + g_1(x, y) + \dots + g_M(x, y)) / M$$

当：噪音 $h(x, y)_i$ 为互不相关，且均值为0时，

上述图像均值将降低噪音的影响。

定理：对 M 幅加性噪声图像进行平均，可以使图像的平方信噪比提高 M 倍。

$$\text{信噪比} = \text{信号功率} / \text{噪声功率}$$



图像运算—代数运算

■ 生成图像叠加效果

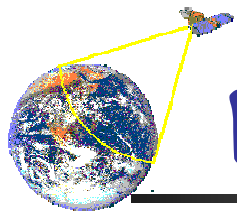
对于两个图像 $f(x,y)$ 和 $h(x,y)$ 的均值有:

$$g(x, y) = \frac{1}{2} f(x, y) + \frac{1}{2} h(x, y)$$

会得到二次曝光的效果。推广这个公式为:

$$g(x,y) = \alpha f(x,y) + \beta h(x,y) \quad \text{其中 } \alpha + \beta = 1$$

我们可以得到各种图像合成的效果，也可以用于两张图片的衔接



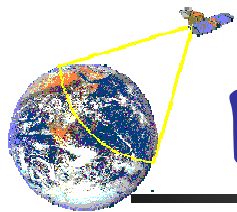
图像运算—代数运算

■ 减法的定义

$$C(x,y) = A(x,y) - B(x,y)$$

■ 主要应用举例

- 去除不需要的叠加性图案
- 检测同一场景两幅图像之间的变化



图像运算—代数运算

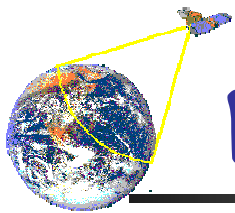
■ 去除不需要的叠加性图案

设：背景图像 $b(x,y)$ ，前景背景混合图像 $f(x,y)$

$$g(x,y) = f(x,y) - b(x,y)$$

$g(x,y)$ 为去除了背景的图像。

电视制作的蓝屏技术就基于此



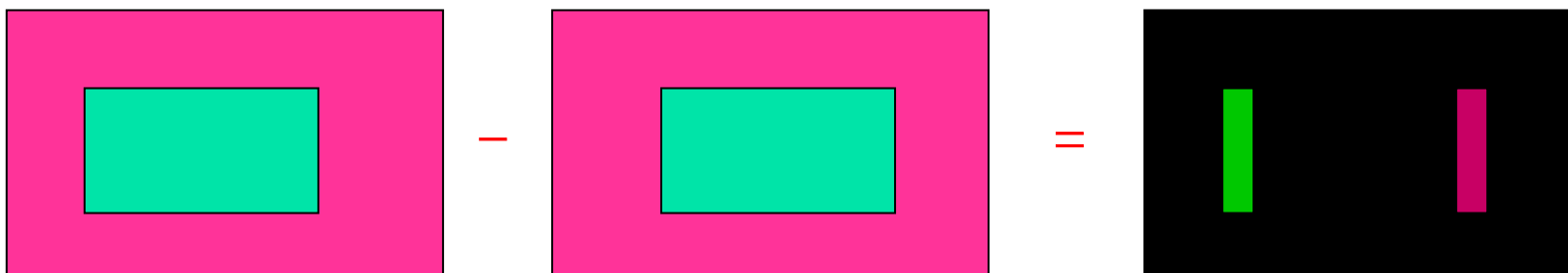
图像运算—代数运算

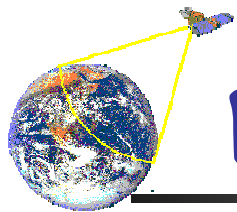
- 检测同一场景两幅图像之间的变化

设： 时间1的图像为 $T_1(x,y)$,

时间2的图像为 $T_2(x,y)$

$$g(x,y) = T_2(x,y) - T_1(x,y)$$





图像运算—代数运算

■ 乘法的定义

注意：逐点相乘

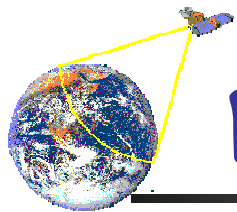
$$C(x,y) = A(x,y) \times B(x,y)$$

■ 主要应用举例

➤ 图像的局部显示

模版中：要提取的
局部区域“1”，要
掩蔽的背景“0”

✓ 用二值蒙板图像与原图像做乘法



图像运算—逻辑运算

■ 逻辑运算—求反、异或、或、与

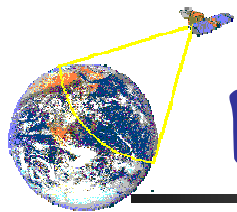
➤ 求反的定义

$$g(x,y) = R - f(x,y)$$

R 为 $f(x, y)$ 的灰度级，对于8bit灰度图， $R=255$ 。

➤ 主要应用举例

- ✓ 获得一个图像的负像
- ✓ 获得一个子图像的补图像



图像运算—逻辑运算

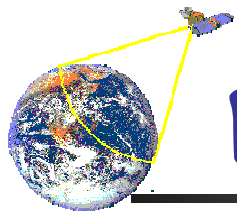
■ 逻辑运算—求反、异或、或、与

➤ 异或运算的定义，主要用于二值图像

$$g(x,y) = f(x,y) \oplus h(x,y)$$

➤ 主要应用举例

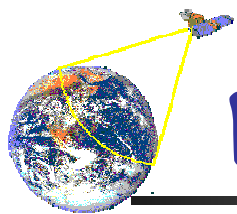
✓ 获得不相交子图像



图像运算—逻辑运算

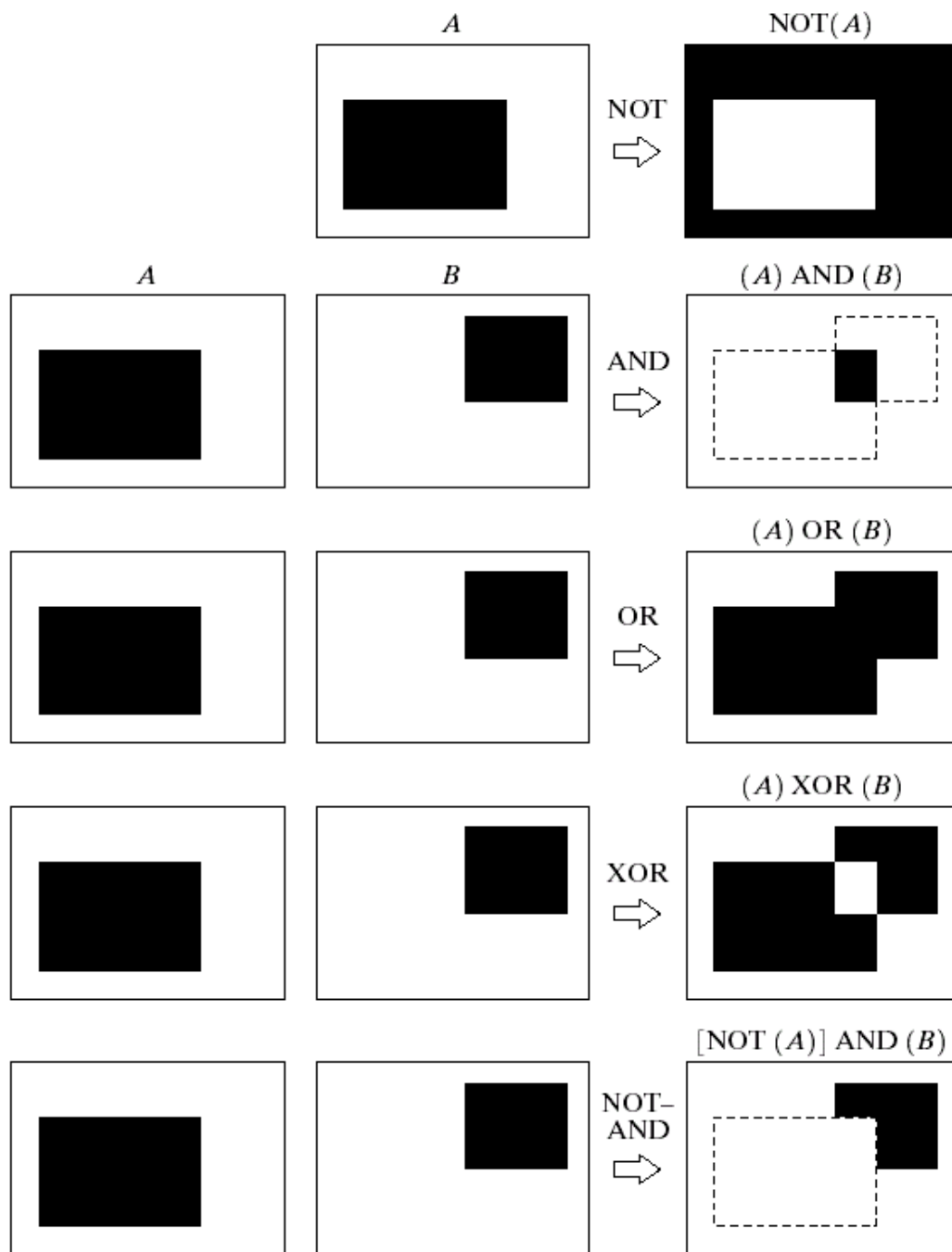
- 逻辑运算—求反、异或、或、与
- 与运算的定义
 - $g(x,y) = f(x,y) \wedge h(x,y)$
- 主要应用举例
 - 求两个子图像的相交子图



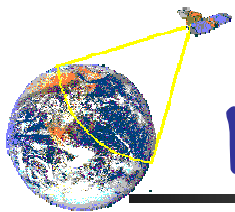


图像运

二值图像的基本逻辑运算



注意与和异或

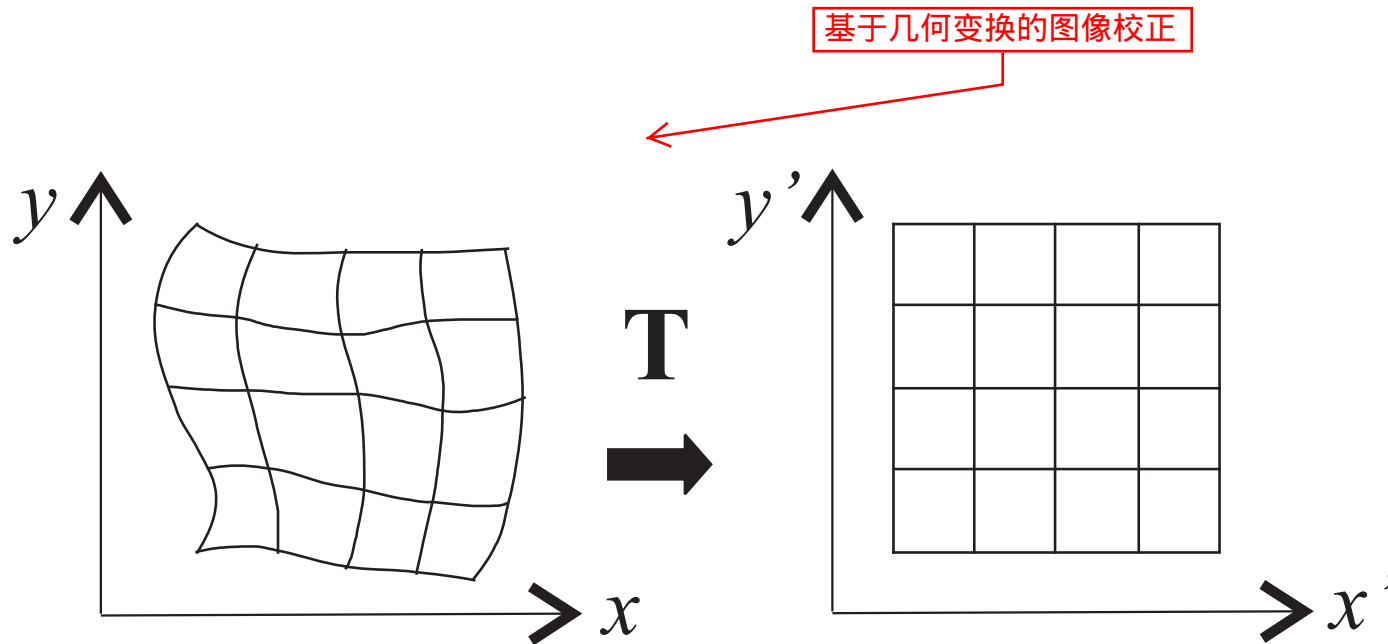


图像的空域变换

- 在图像空间，对图像的形状、像素值等进行变化、映射等处理
 - 几何变换
 - ✓ 改变图像的形状
 - ❖ 基本变换
 - ❖ 灰度插值
 - 非几何变换
 - ✓ 改变图像像素值
 - ❖ 模板运算
 - ❖ 灰度变换
 - ❖ 直方图变换

Geometrical Transformation

Transformation of **spatial coordinates**



Geometrical Transformation — What for?

- ◆ intentional image transformations (you know where to go)
 - resizing
 - rotation
 - shift
 - warping, texture mapping
- ◆ correction of distortions (you know how it should look)
 - projective skew
 - non-linear distortion (fish-eyes)

将一幅图像映射到
任意形状的物体表
面，作为图像渲染



Techniques shared by Image processing, Computer graphics, even Robotics or Mechanics.

Example of texture mapping



Realization — Rotation and shift

$$\begin{aligned}x' &= \cos(\alpha)x + \sin(\alpha)y + t_x \\y' &= -\sin(\alpha)x + \cos(\alpha)y + t_y\end{aligned}$$

顺时针旋转+平移

More elegant and efficient

$$\begin{bmatrix} x' \\ y' \\ 1 \end{bmatrix} = \begin{bmatrix} \cos(\alpha) & \sin(\alpha) & t_x \\ -\sin(\alpha) & \cos(\alpha) & t_y \\ 0 & 0 & 1 \end{bmatrix} \begin{bmatrix} x \\ y \\ 1 \end{bmatrix}$$

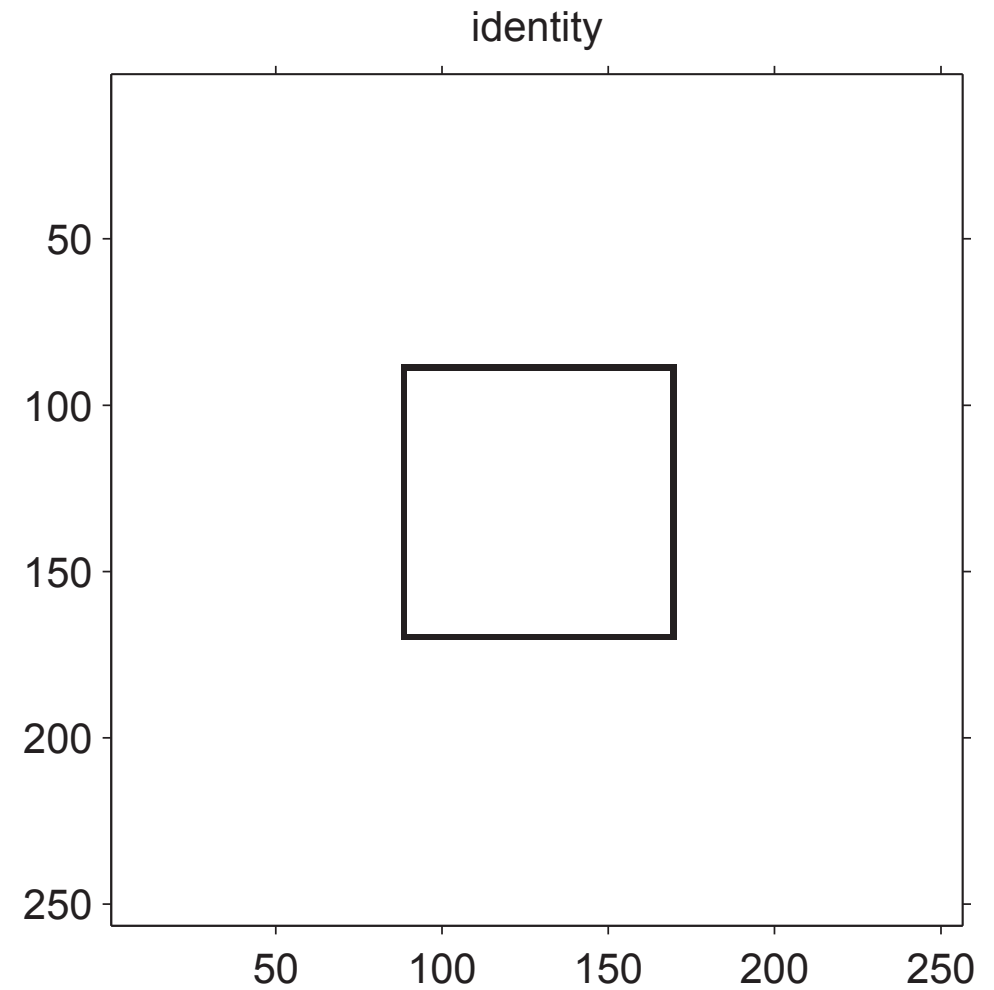
in a matrix form

$$\mathbf{x}' = T\mathbf{x}$$

where \mathbf{x}' and \mathbf{x} are homogeneous coordinates: $\mathbf{x} = [\lambda x, \lambda y, \lambda]^T$, $\lambda \neq 0$.

Identity

$$T = \begin{bmatrix} 1 & 0 & 0 \\ 0 & 1 & 0 \\ 0 & 0 & 1 \end{bmatrix}$$

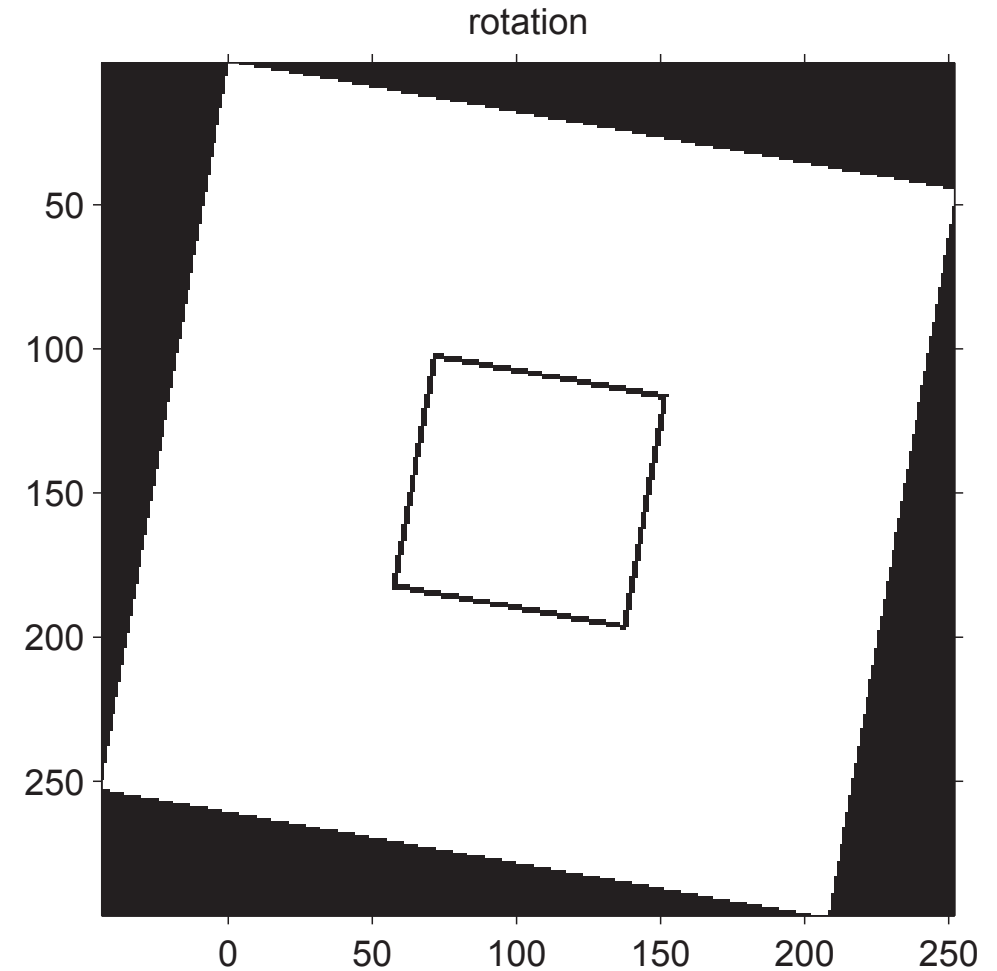


Rotation

$$T = \begin{bmatrix} \cos(\alpha) & \sin(\alpha) & 0 \\ -\sin(\alpha) & \cos(\alpha) & 0 \\ 0 & 0 & 1 \end{bmatrix}$$

for $\alpha = 10^\circ$

$$T = \begin{bmatrix} 0.9848 & 0.1736 & 0 \\ -0.1736 & 0.9848 & 0 \\ 0 & 0 & 1 \end{bmatrix}$$

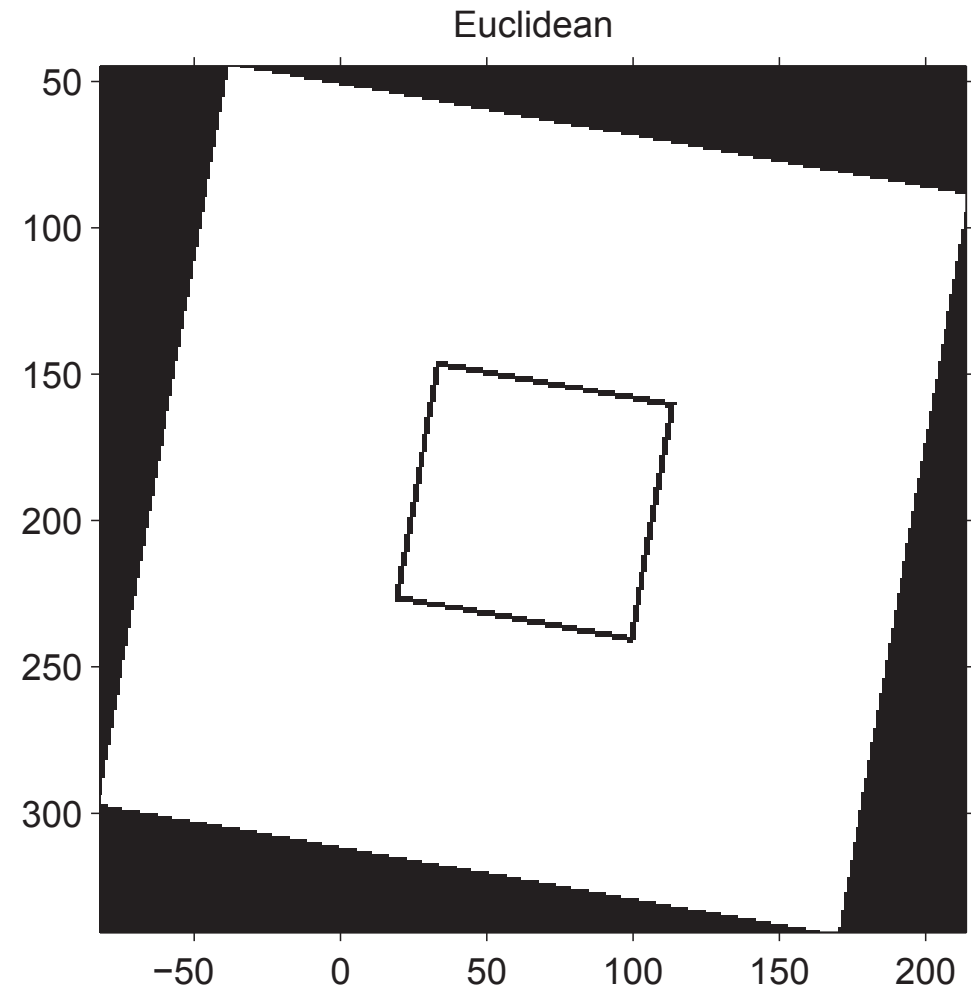


Rotation + translation

$$T = \begin{bmatrix} \cos(\alpha) & \sin(\alpha) & t_x \\ -\sin(\alpha) & \cos(\alpha) & t_y \\ 0 & 0 & 1 \end{bmatrix}$$

for $\alpha = 10^\circ$ and $\mathbf{t} = [-50, 30]^T$

$$T = \begin{bmatrix} 0.9848 & 0.1736 & -50 \\ -0.1736 & 0.9848 & 30 \\ 0 & 0 & 1 \end{bmatrix}$$



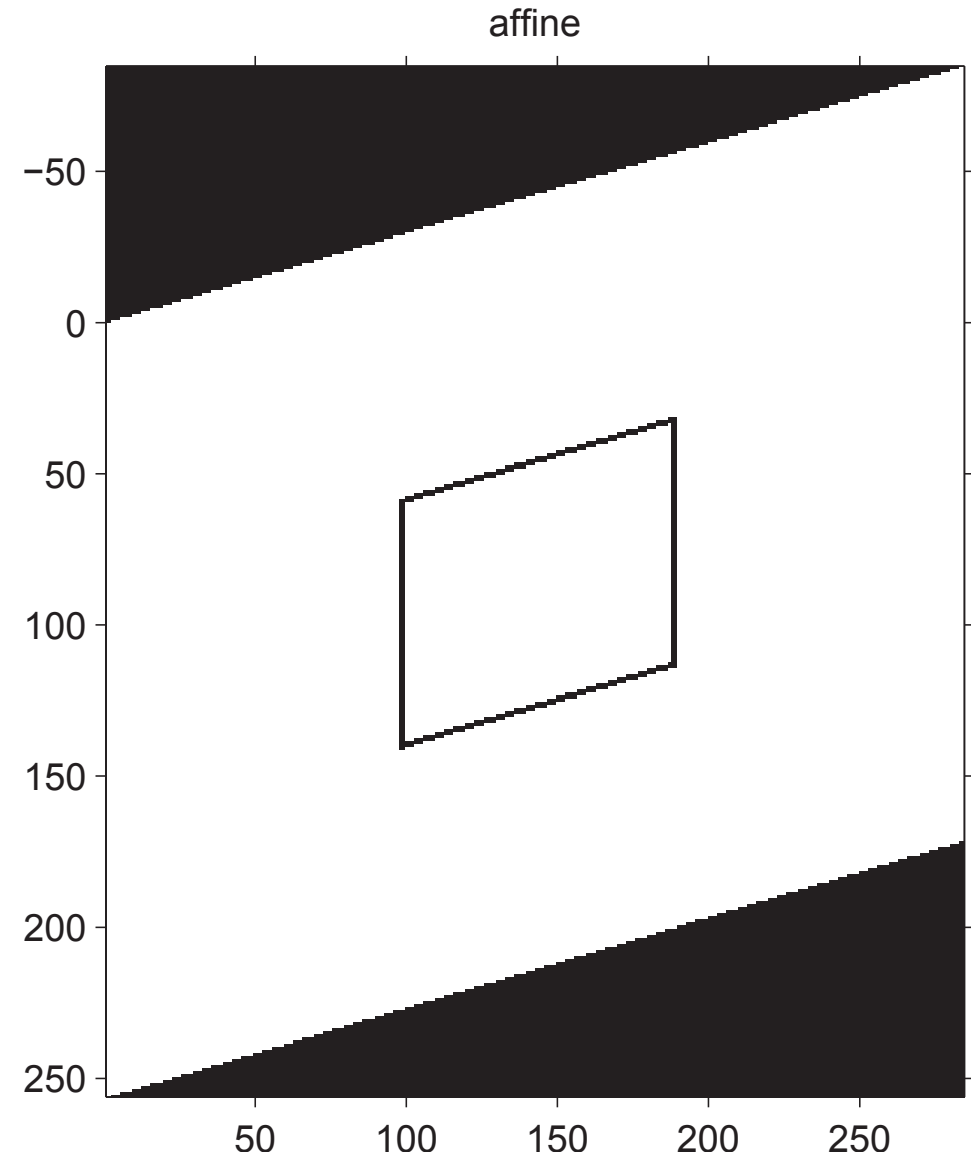
Affine (仿射变换)

$$T = \begin{bmatrix} 0.9000 & 0 & 0 \\ 0.3000 & 1 & 0 \\ 0 & 0 & 1 \end{bmatrix}$$

in general

$$T = \begin{bmatrix} a & b & c \\ d & e & f \\ 0 & 0 & 1 \end{bmatrix}$$

6 degrees of freedom



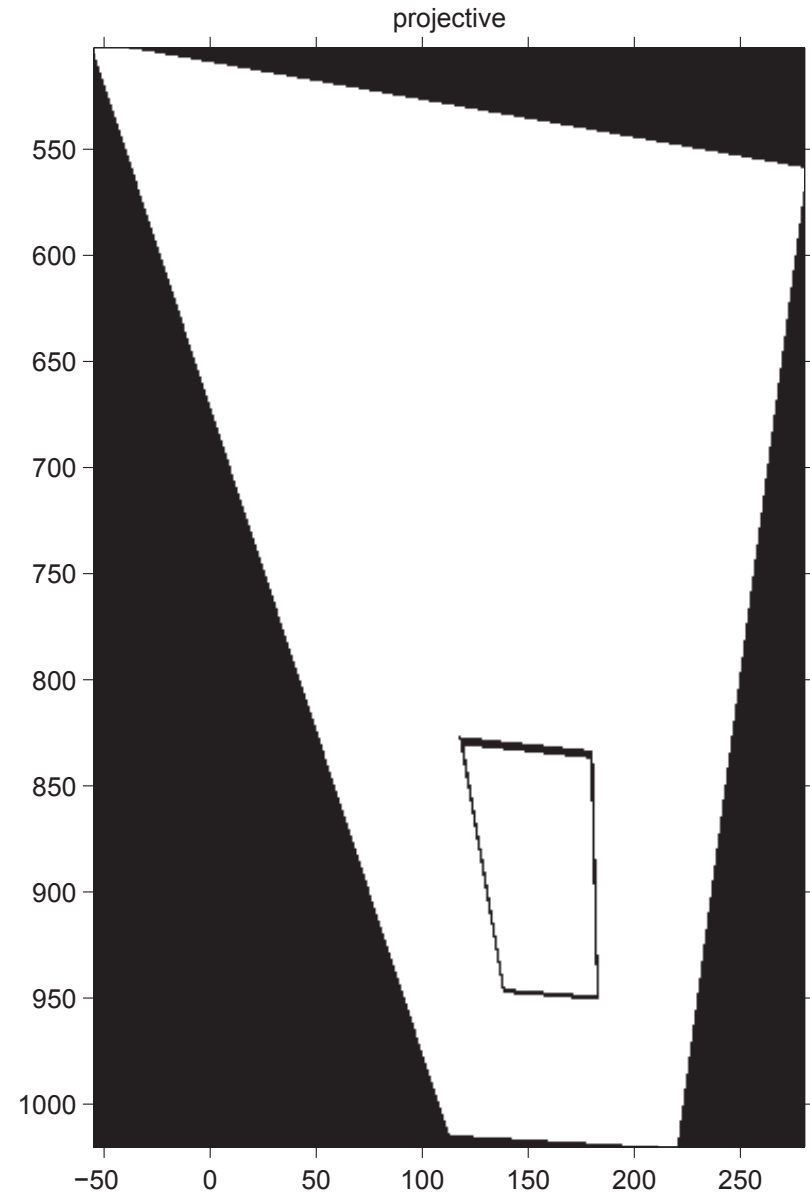
Projective

$$T = \begin{bmatrix} 0.445 & -0.147 & 98.400 \\ -0.018 & 0.099 & -50.000 \\ -0.000 & -0.001 & 1 \end{bmatrix}$$

in general

$$T = \begin{bmatrix} a & b & c \\ d & e & f \\ g & h & 1 \end{bmatrix}$$

8 degrees of freedom



Correction of converging lines I



Correction of converging lines II

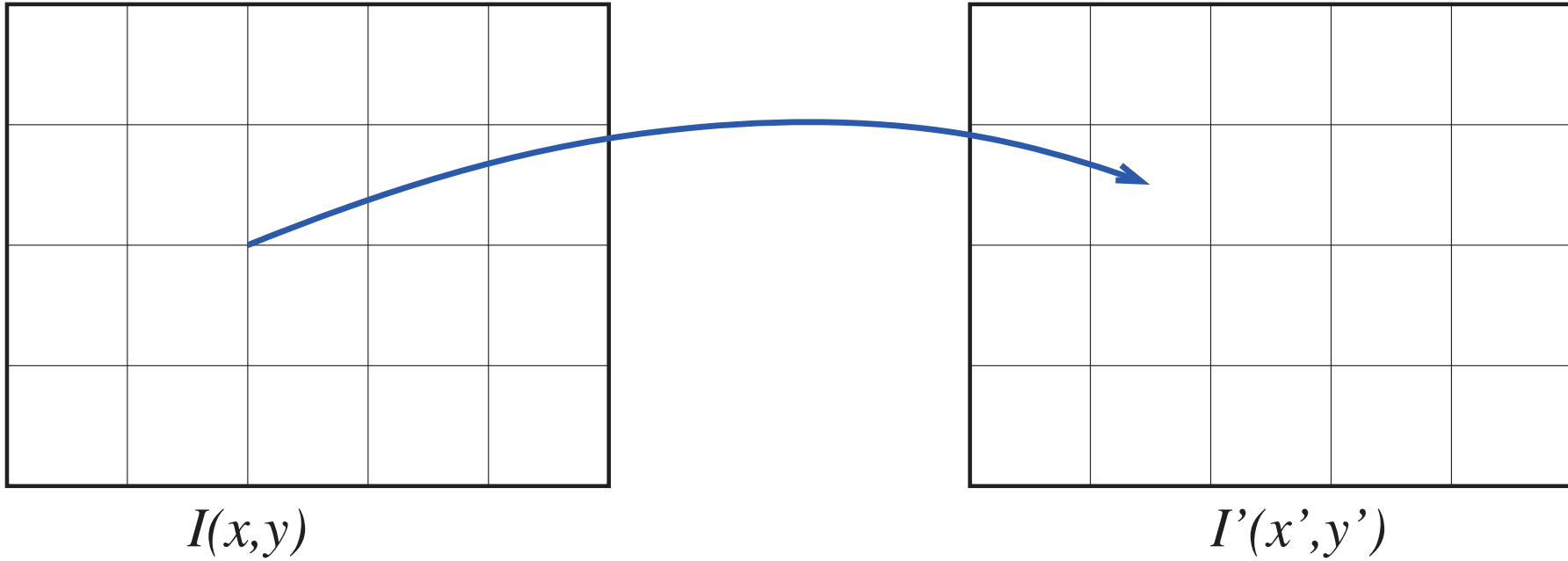


Correction of converging lines III



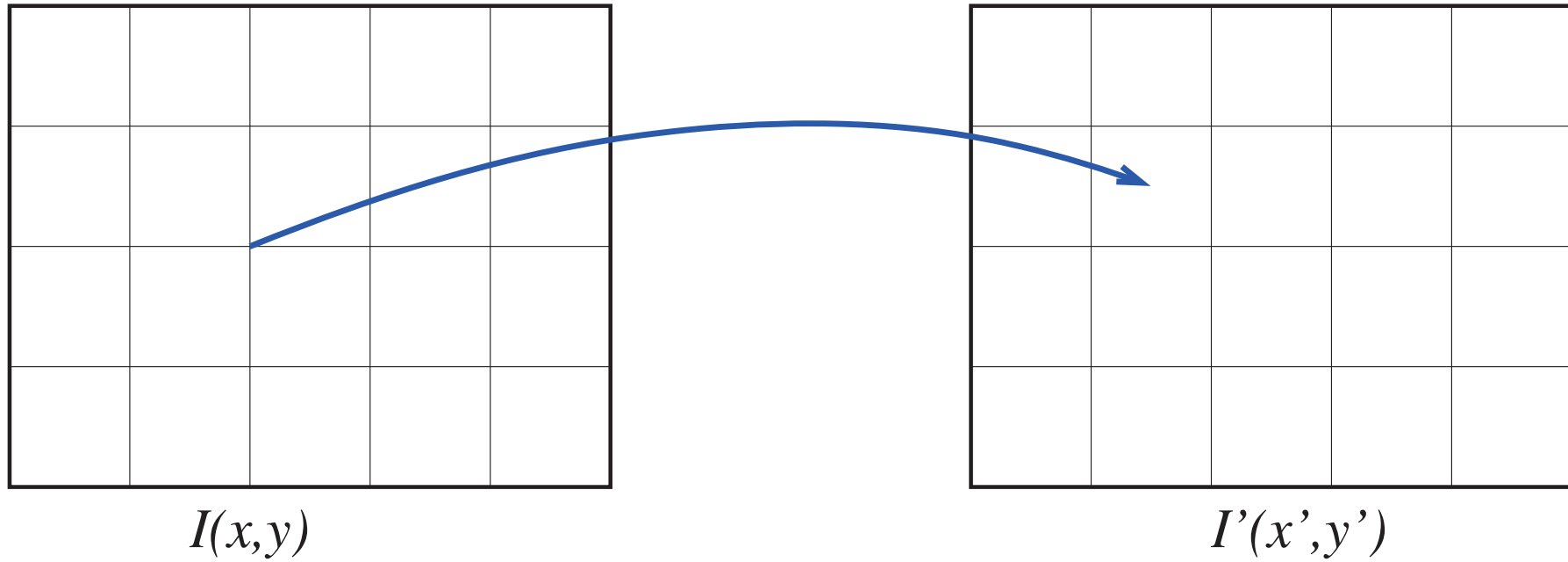
Forward mapping

$$\mathbf{x}' = T\mathbf{x};$$



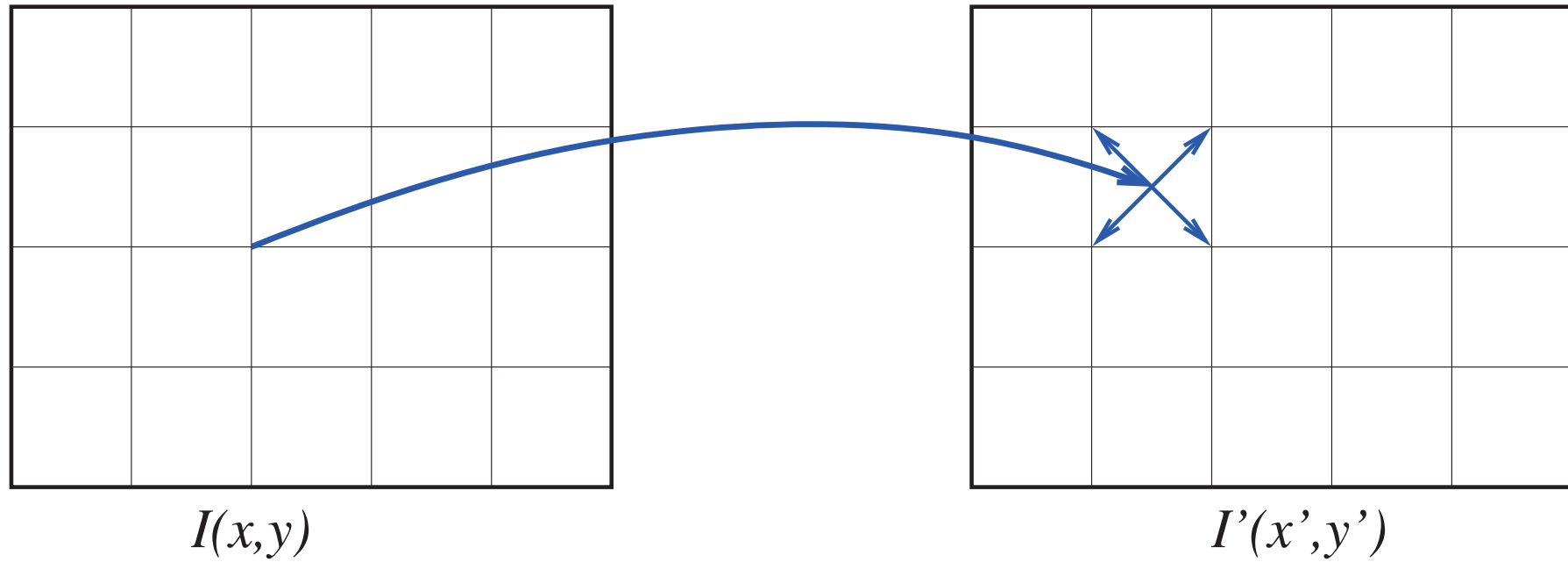
Forward mapping — problems

Maps outside the pixel locations. (not in the display grid)



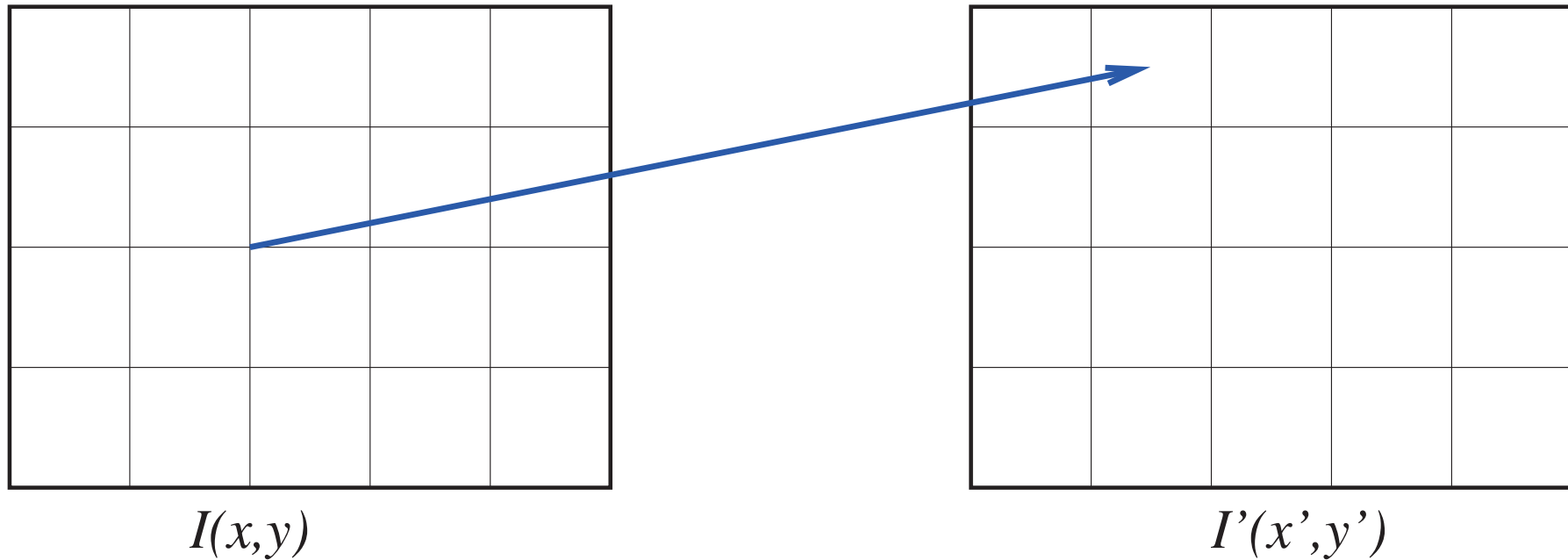
Forward mapping — problems

Solution: Spread out the effect of each pixel



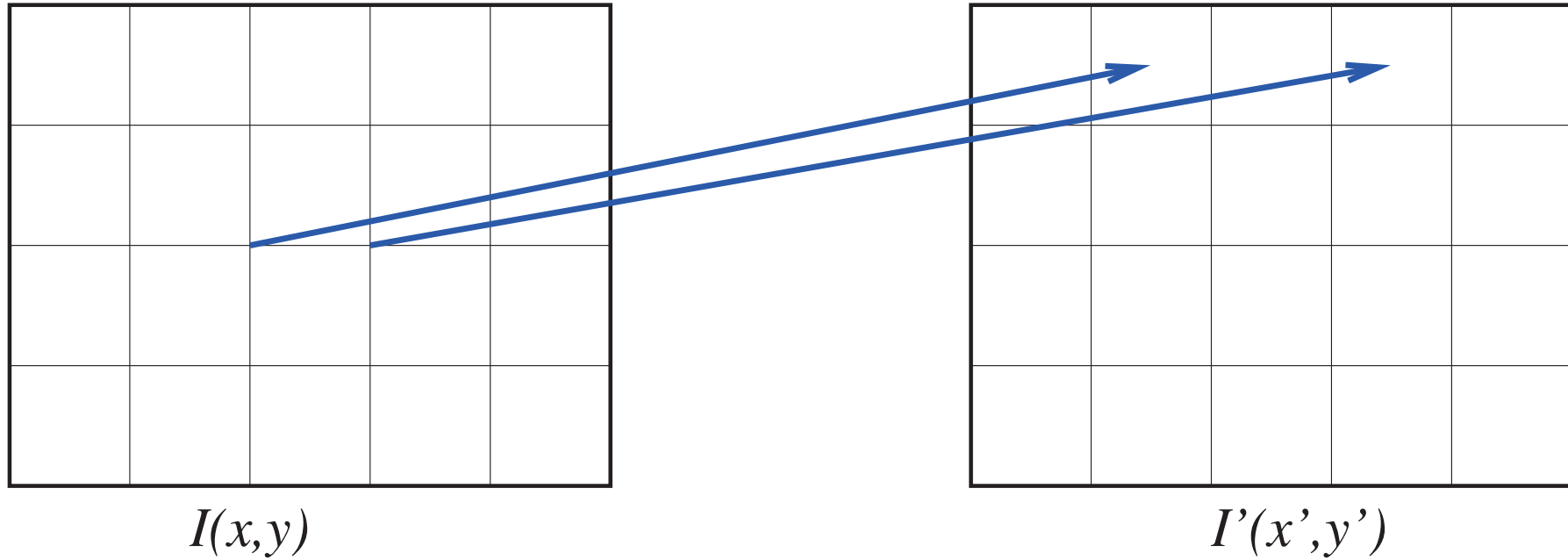
Forward mapping — problems

May produce holes in the output (有些显示格点附近没有变换过来的像素，形成hole)



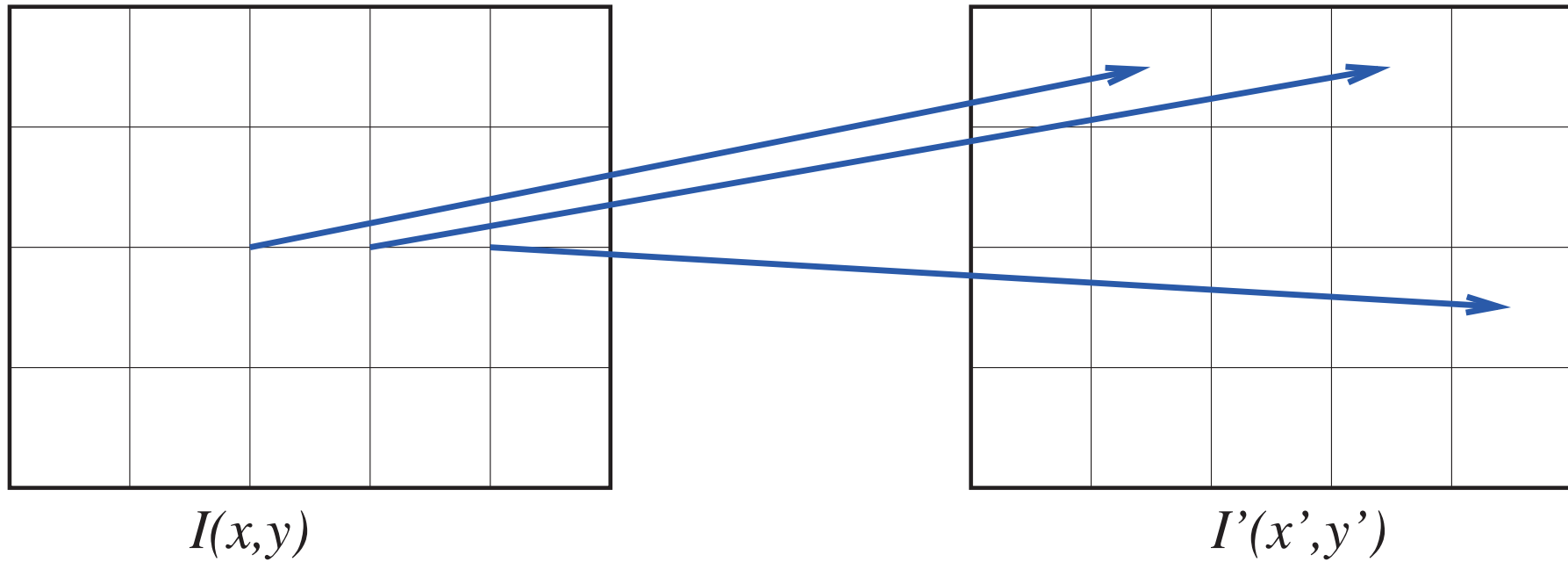
Forward mapping — problems

May produce holes in the output



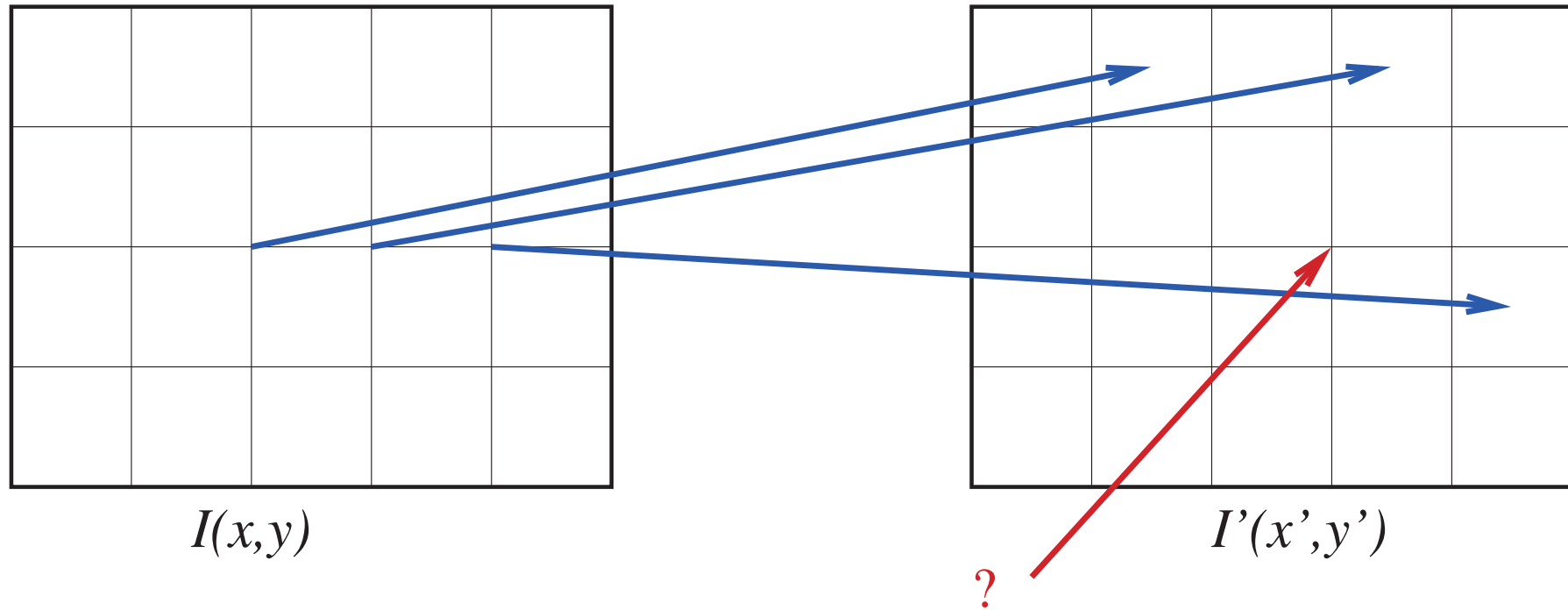
Forward mapping — problems

May produce holes in the output



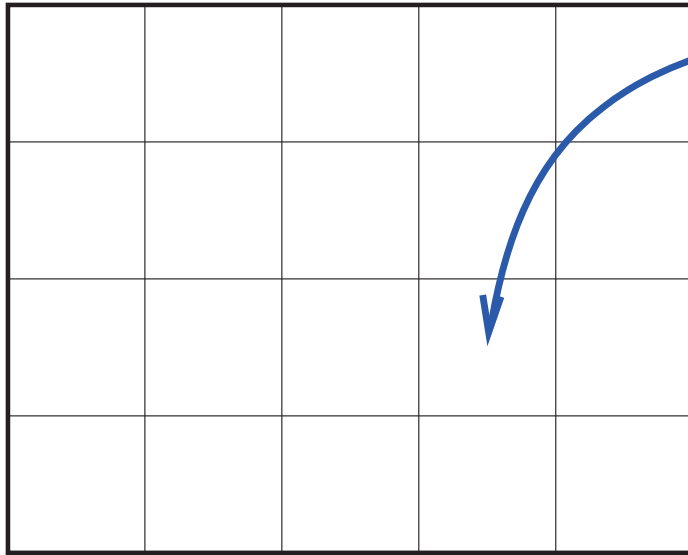
Forward mapping — problems

May produce holes in the output

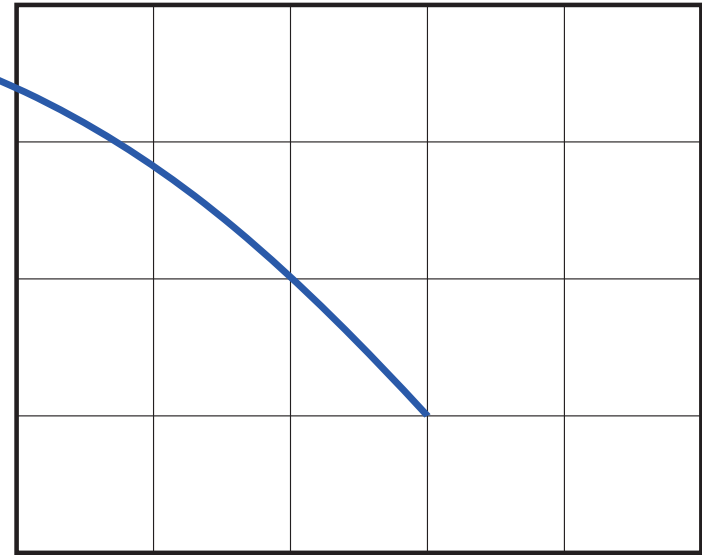


Backward mapping

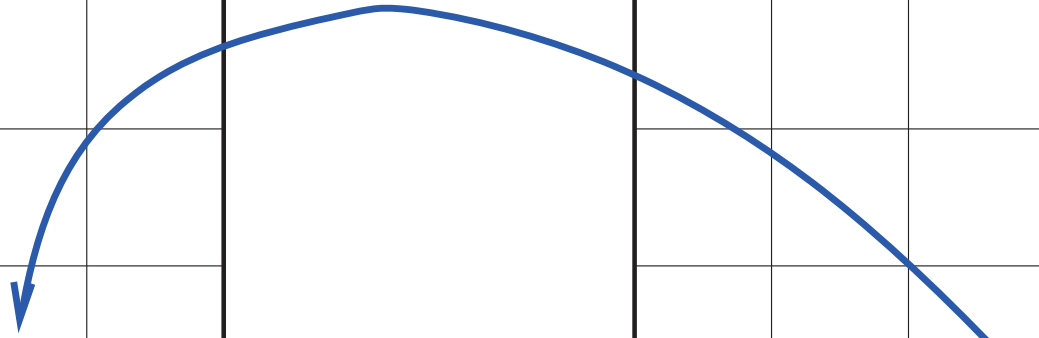
$$\mathbf{x} = T^{-1}\mathbf{x}'$$



$I(x,y)$

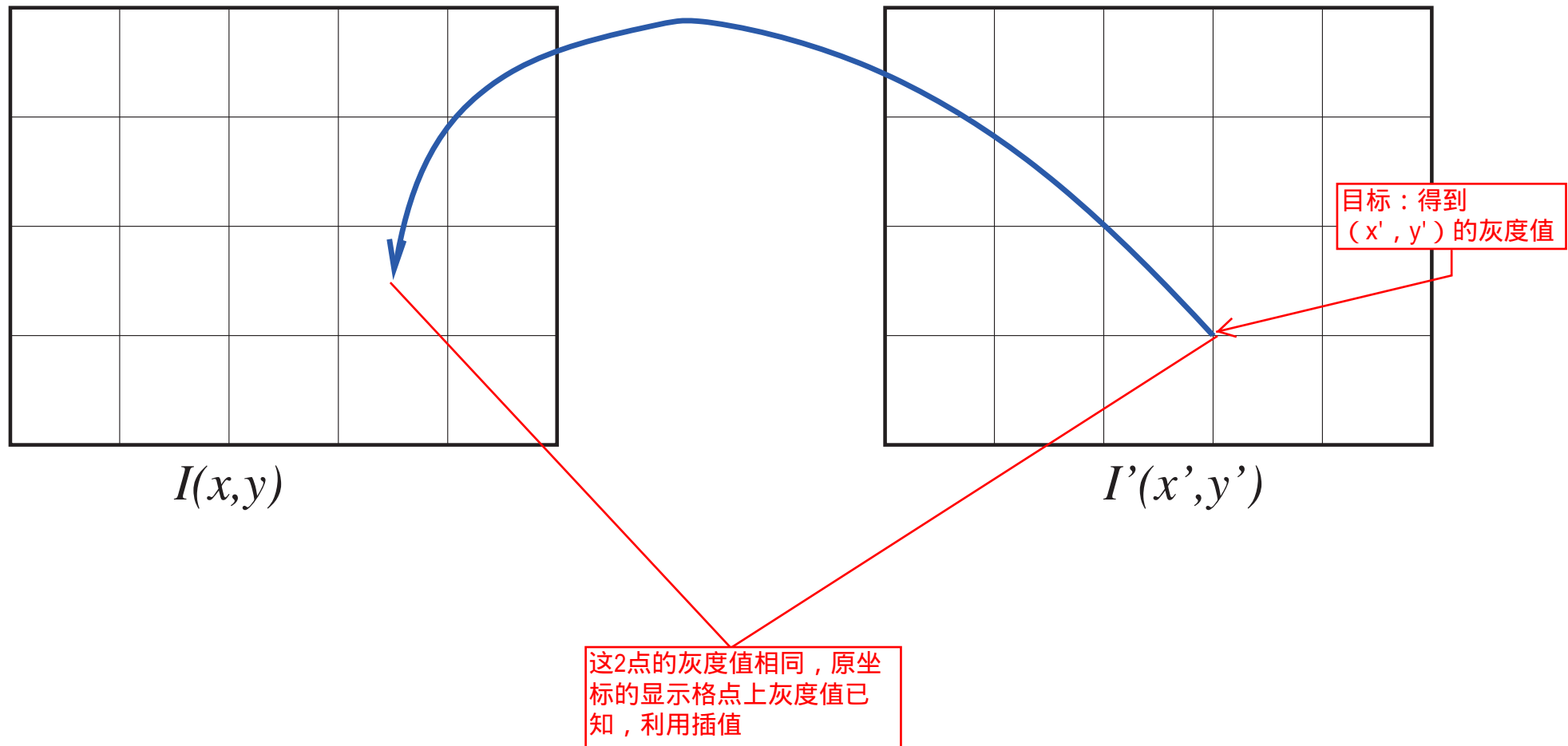


$I'(x',y')$



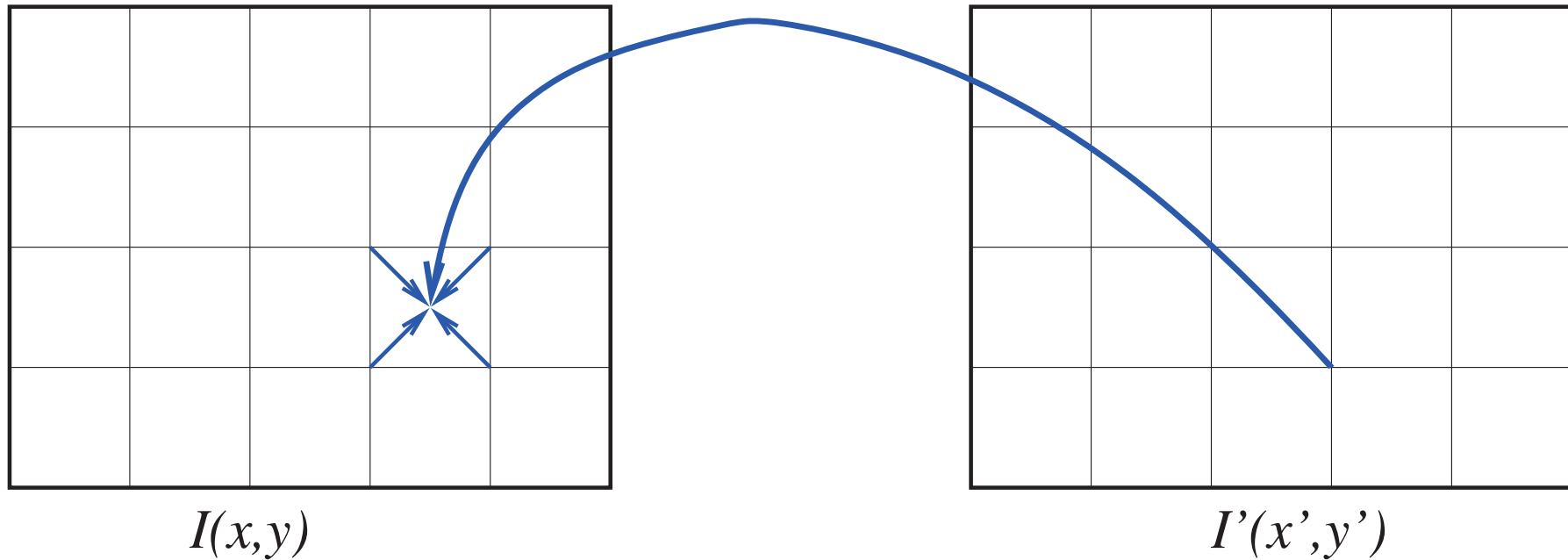
Backward mapping — problems

Does not always map **from** a pixel



Backward mapping — problems

Solution: **Interpolate** between pixels



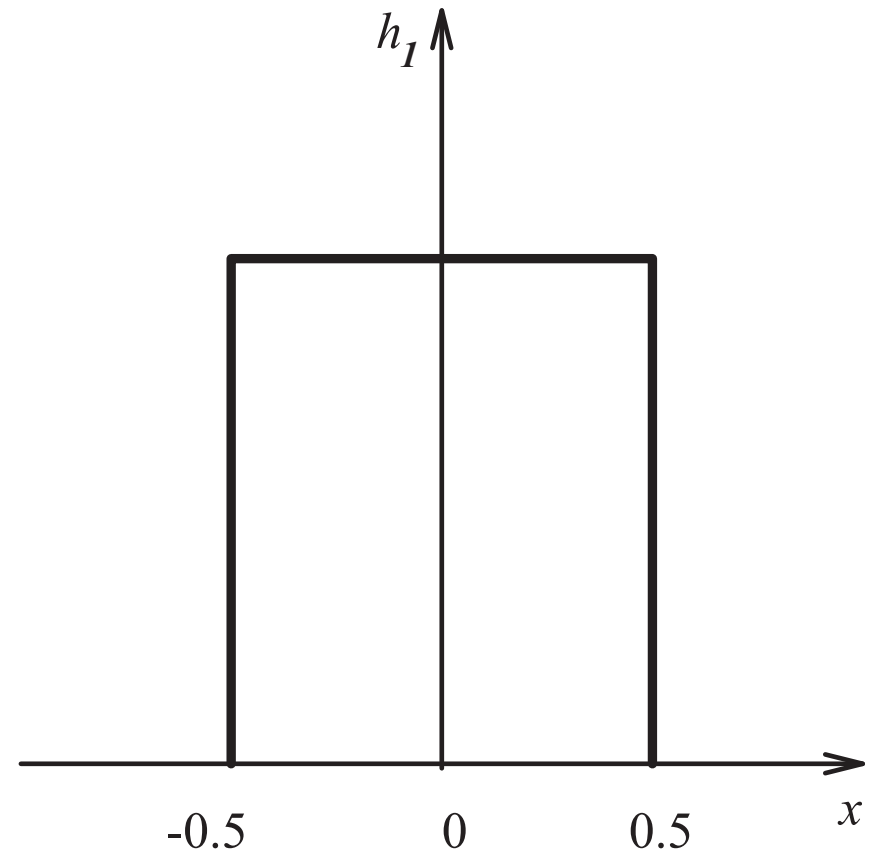
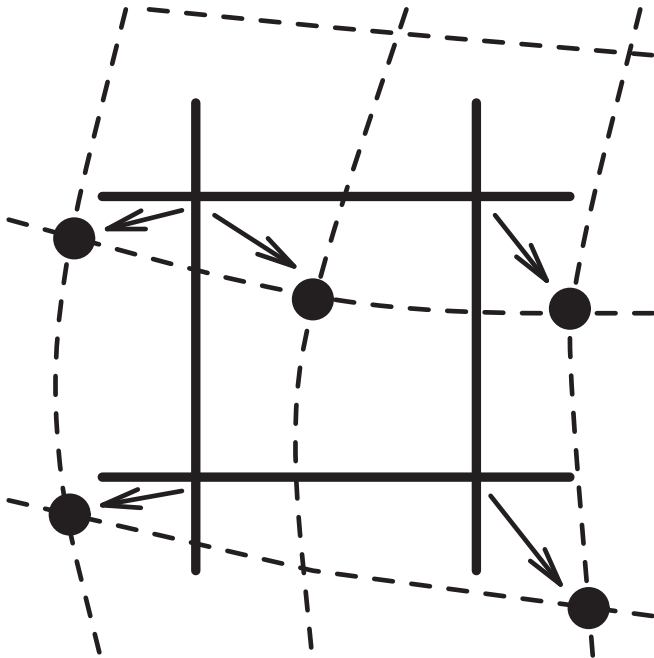
Interpolation as 2D convolution

We have sampled (possibly outside the regular grid) function $s(x, y)$ instead of the wanted $f(x, y)$.

We want to find a good approximation by convolution

$$\hat{f}(x, y) = \sum_{k=-\infty}^{\infty} \sum_{l=-\infty}^{\infty} s(k, l) h(x - k, y - l)$$

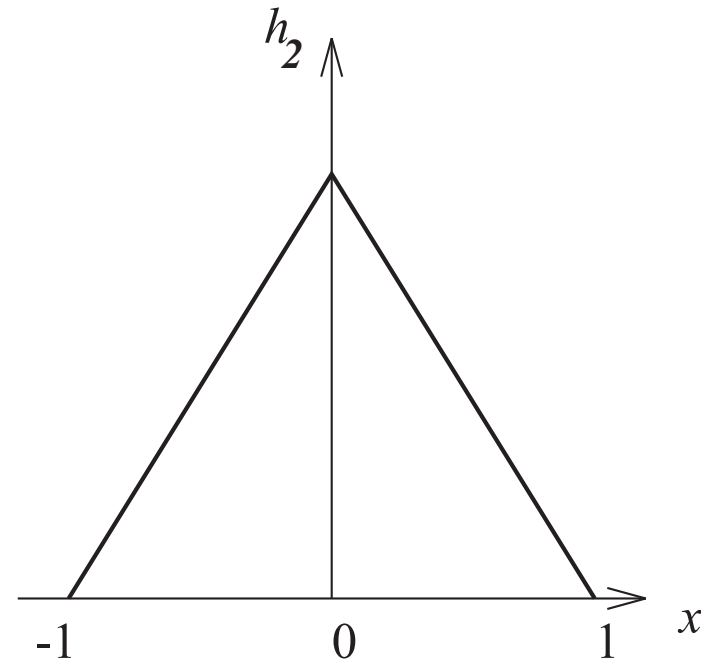
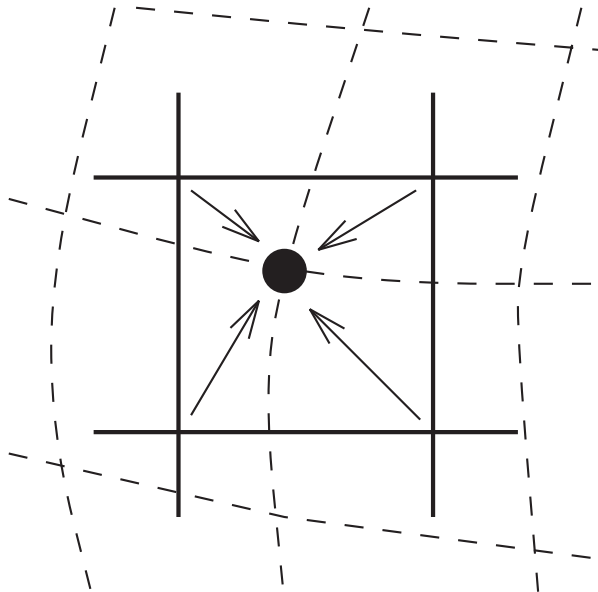
Interpolation — nearest neighbour



Interpolation — bilinear

$$\hat{f}(x, y) = (1 - a)(1 - b) s(l, k) + a(1 - b) s(l + 1, k) \\ + b(1 - a) s(l, k + 1) + ab s(l + 1, k + 1) ,$$

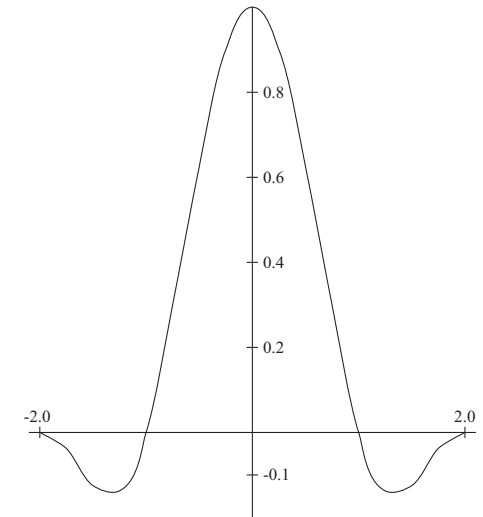
where $l = \text{round}(x) , \quad a = x - l ,$
 $k = \text{round}(y) , \quad b = y - k .$



Interpolation — bicubic

Just 1D, for clarity

$$\hat{f} = \begin{cases} 1 - 2|x|^2 + |x|^3 & \text{pro } 0 \leq |x| < 1, \\ 4 - 8|x| + 5|x|^2 - |x|^3 & \text{pro } 1 \leq |x| < 2, \\ 0 & \text{elsewhere.} \end{cases}$$

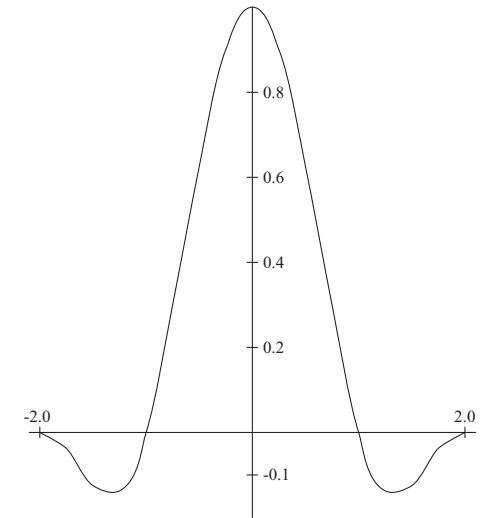


Does not remind you the shape something?

Interpolation — bicubic

Just 1D, for clarity

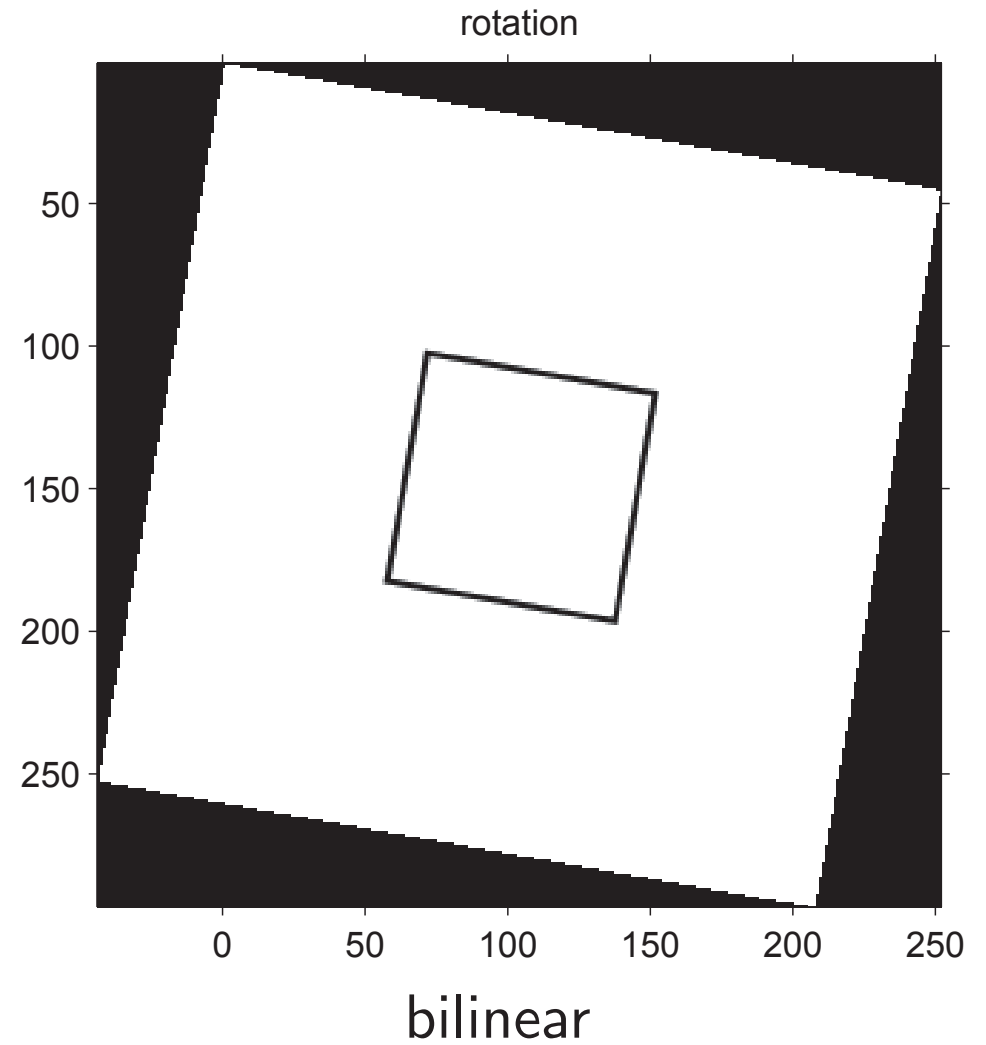
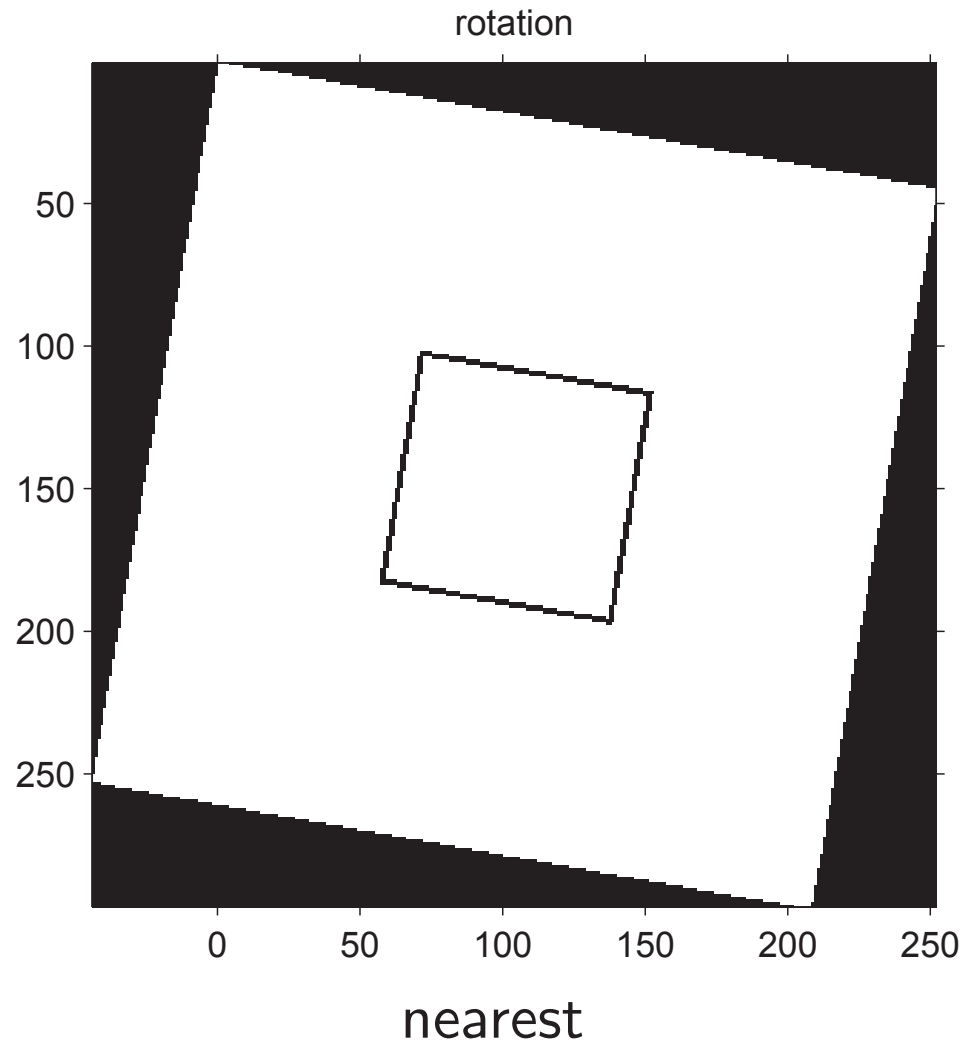
$$\hat{f} = \begin{cases} 1 - 2|x|^2 + |x|^3 & \text{pro } 0 \leq |x| < 1, \\ 4 - 8|x| + 5|x|^2 - |x|^3 & \text{pro } 1 \leq |x| < 2, \\ 0 & \text{elsewhere.} \end{cases}$$



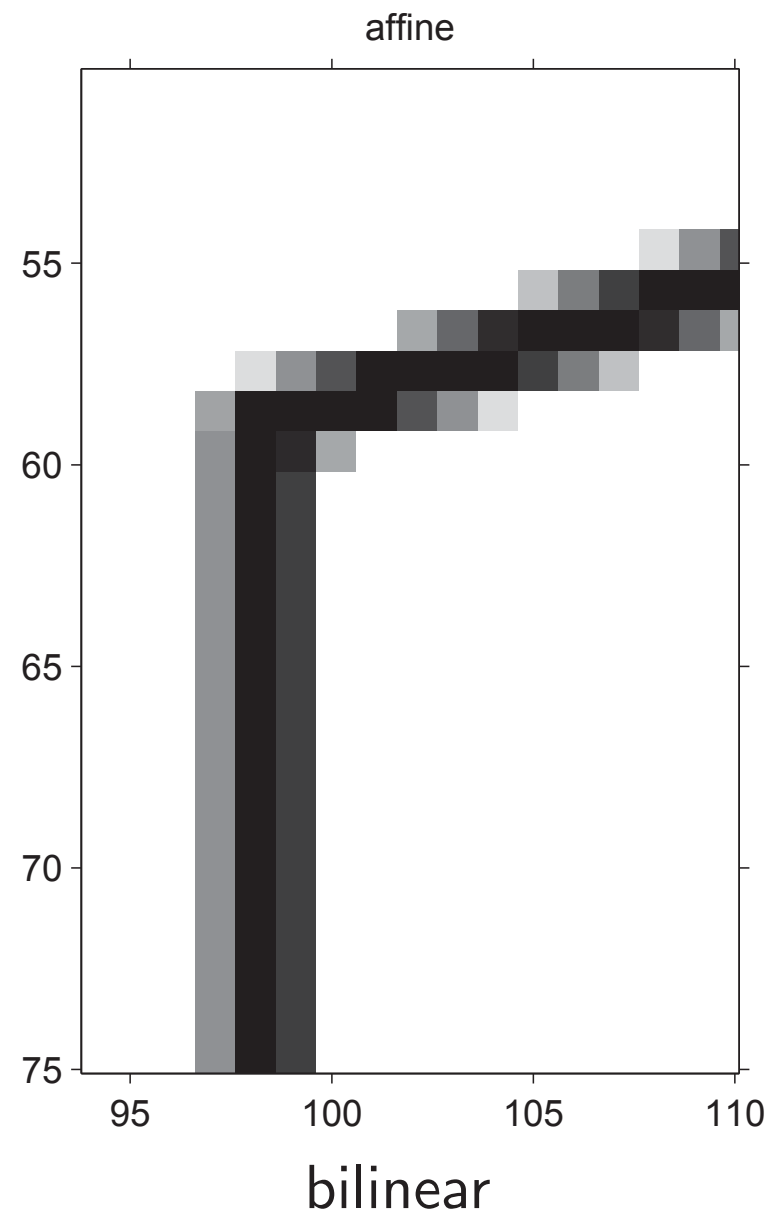
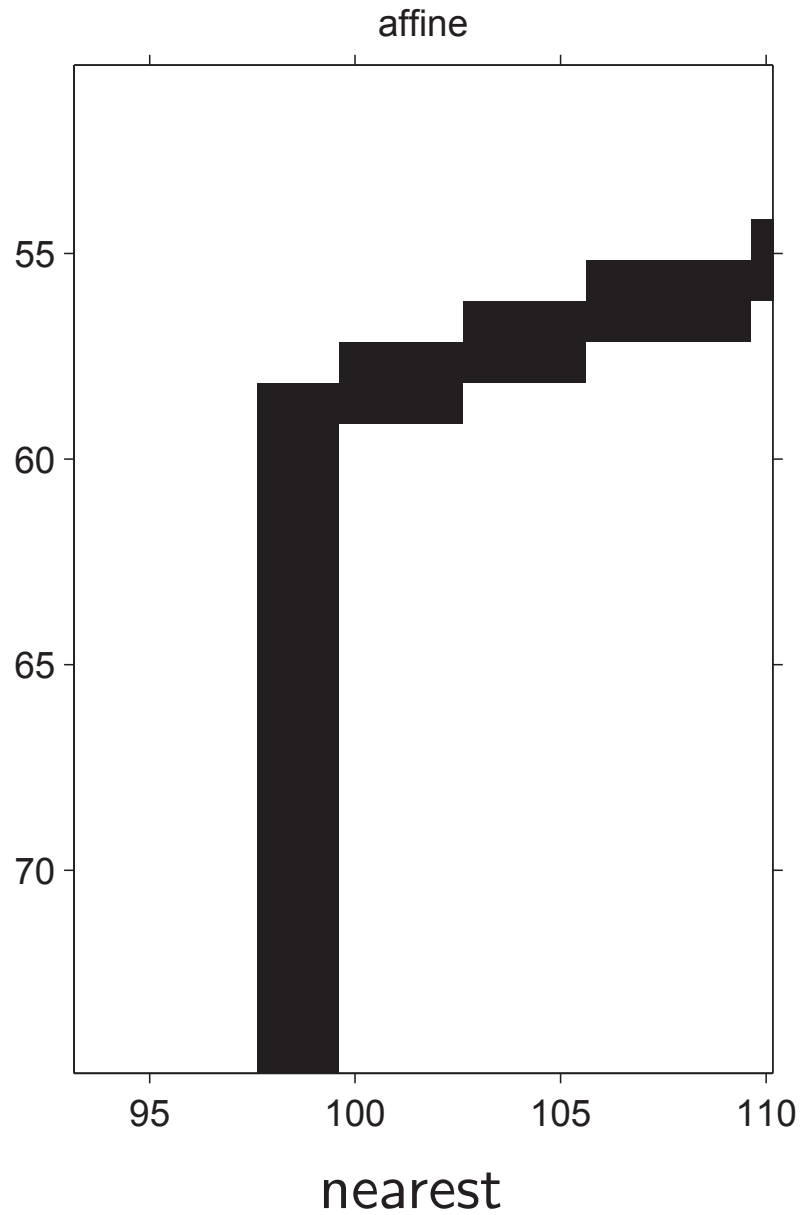
Does not remind you the shape something?

$\text{sinc}(x)$! The ideal reconstructor. 用到无穷多个采样点，无失真恢复

Interpolation — nearest vs. bilinear



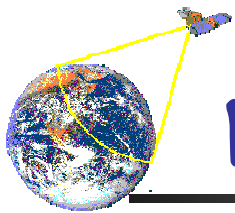
Interpolation — nearest vs. bilinear — close up



Geometrical Transformation — Summary



- ◆ Closed form solution, all pixels undergo the same transformation
 - rotation, scaling, translation
 - affine, perspective
- ◆ General, deformation meshes. Transformation depends on position (warping, morphing)



图像的空域变换——几何变换

■ 几何变换的基本概念

- 对原始图像，按照需要改变其大小、形状和位置的变化
- 变换的类型：二维平面图像的几何变换、三维图像的几何变换、由三维向二维平面的投影变换等

■ 二维图像几何变换的定义

对于原始图像 $f(x,y)$ ，坐标变换函数

$$x' = a(x,y); \quad y' = b(x,y)$$

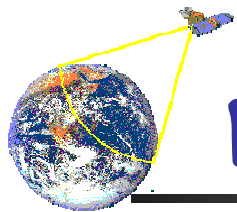
唯一确定了几何变换：

关键点：灰度值不变

$$g(x',y') = f(x, \hat{y}) \quad g(x,y) \text{ 是目标图像}$$

■ 二维图像几何变换的基本方式

- 多项式变换、透视变换



图像的空域变换——几何变换

■ 多项式变换

➤ 基本公式

$$\begin{cases} x' = \sum_{i=0}^M \sum_{j=0}^N a_{ij} x_i y_j \\ y' = \sum_{i=0}^M \sum_{j=0}^N b_{ij} x_i y_j \end{cases}$$

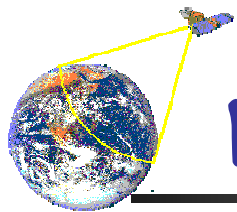
注：(x_i, y_i)是(x,y)
的邻域像素坐标

➤ 线性变换——多项式变换中的一阶变换 可以通过矩阵变换实现

$$x' = ax + by + e, \quad y' = cx + dy + f$$

➤ 二维图像的基本变换

由线性变换确定的图像的平移、缩放、旋转、镜像与错切



图像的空域变换——几何变换

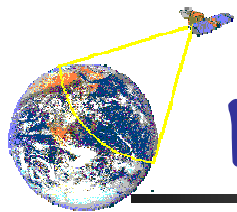
■ 二维数字图像基本几何变换的矩阵计算

- 原始图像与目标图像之间的坐标变换函数为线性函数
 - ✓ 可以通过与之对应的线性矩阵变换来实现
- 齐次坐标表示法——用 $n + 1$ 维向量表示 n 维向量

设有变换矩阵 T ，则二维图像的基本几何变换矩阵为：

$$\begin{bmatrix} x' \\ y' \\ 1 \end{bmatrix} = T \times \begin{bmatrix} x \\ y \\ 1 \end{bmatrix} \quad T = \begin{bmatrix} a & b & e \\ c & d & f \\ 0 & 0 & 1 \end{bmatrix}$$

上述变换方式又称之为仿射变换

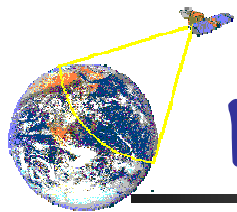


图像的空域变换——几何变换

■ 数字图像基本几何变换的矩阵计算（续）

➤ 二维图像的基本几何变换具有特征：

- ✓ 变换前图形上的每一点，在变换后的图形上都有一确定的对应点，如原来直线上的中点变换为新直线的中点
- ✓ 平行直线变换后仍保持平行，相交直线变换后仍相交
- ✓ 变换前直线上的线段比等于变换后对应的线段比



图像的空域变换——几何变换

■ 数字图像基本几何变换的矩阵计算（续）

➤ 变换矩阵 T 可以分解为二个子矩阵：

$$T = \begin{bmatrix} a & b & e \\ c & d & f \\ 0 & 0 & 1 \end{bmatrix}$$

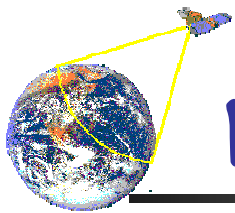
➤ 子矩阵1：

$$\begin{bmatrix} a & b \\ c & d \end{bmatrix}_{2 \times 2}$$

➤ 可实现图像的恒等、比例、镜像、旋转和错切变换

➤ 子矩阵2： $[e \ f]^T$

可实现图像的平移变换（ $e=0$ ， $f=0$ 时无平移作用）



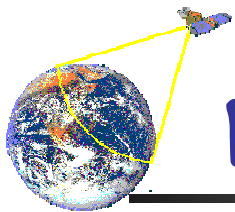
图像的空域变换—几何变换

- 平移变换（只改变图像位置，不改变图像的大小和形状）

设: $\mathbf{a}(x,y) = x + x_0$; $\mathbf{b}(x,y) = y + y_0$;

可有: $\mathbf{g}(x', y') = \mathbf{g}(x+x_0, y+y_0) = \mathbf{f}(x, y)$

$$\begin{bmatrix} x' \\ y' \\ 1 \end{bmatrix}_{new} = \begin{bmatrix} a(x, y) \\ b(x, y) \\ 1 \end{bmatrix}_{new} = \begin{bmatrix} 1 & 0 & x_0 \\ 0 & 1 & y_0 \\ 0 & 0 & 1 \end{bmatrix} \begin{bmatrix} x \\ y \\ 1 \end{bmatrix}_{old}$$

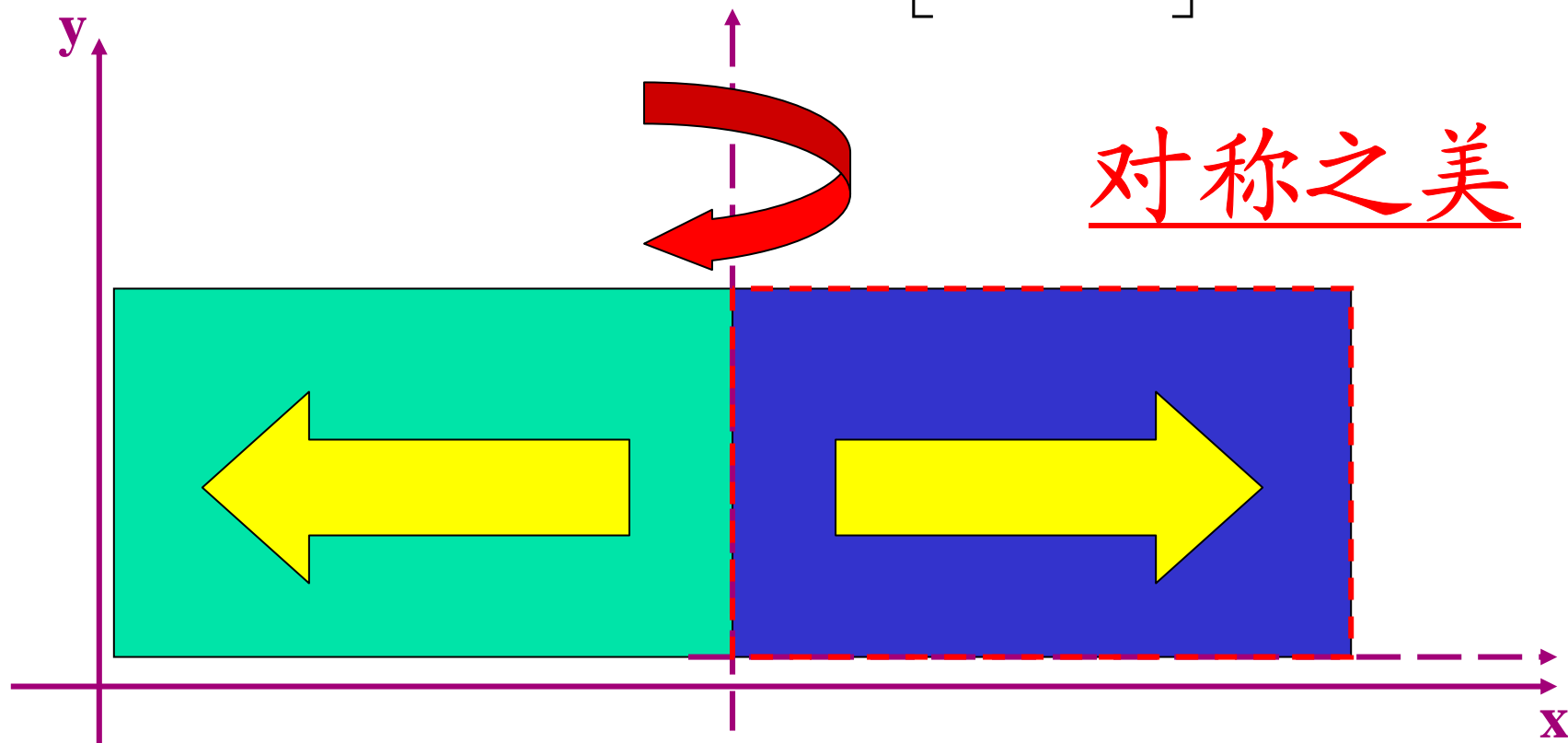


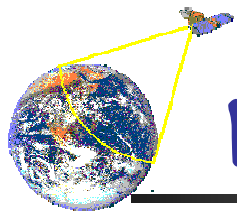
图像的空域变换——几何变换

■ 水平镜像

$$a(x,y) = -x; b(x,y) = y;$$

$$T = \begin{bmatrix} -1 & 0 & 0 \\ 0 & 1 & 0 \\ 0 & 0 & 1 \end{bmatrix}$$





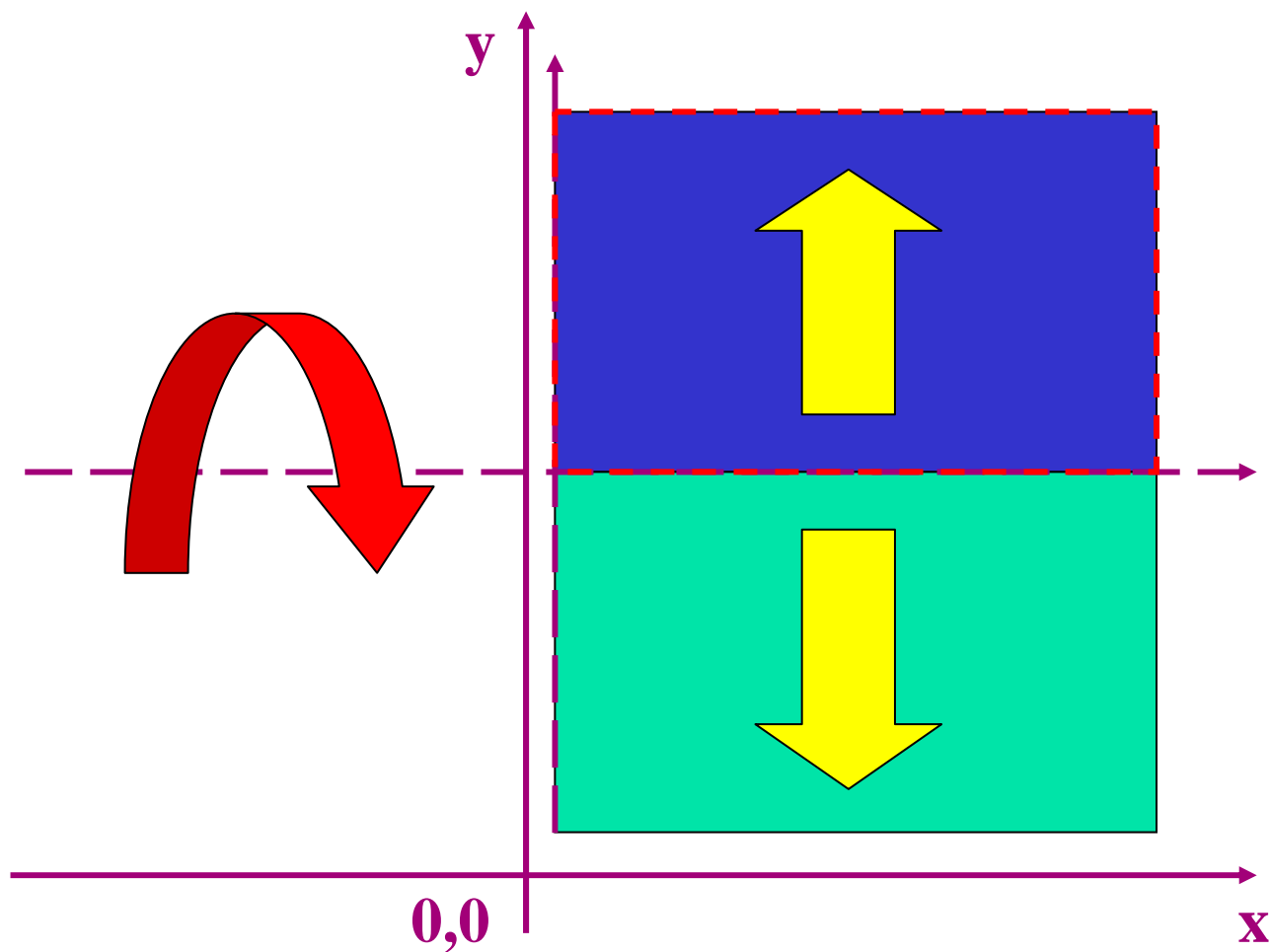
图像的空域变换——几何变换

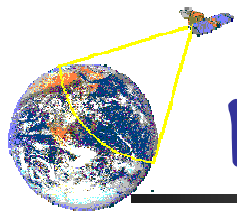
■ 垂直镜像

$$a(x,y) = x;$$

$$b(x,y) = -y$$

$$T = \begin{bmatrix} 1 & 0 & 0 \\ 0 & -1 & 0 \\ 0 & 0 & 1 \end{bmatrix}$$





图像的空域变换——几何变换

■ 缩放变换:

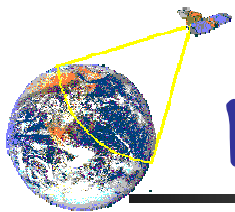
x方向缩放**c**倍, **y**方向缩放**d**倍

$$a(x,y) = x \times c; \quad b(x,y) = y \times d;$$

$$\begin{bmatrix} x' \\ y' \\ 1 \end{bmatrix}_{new} = \begin{bmatrix} a(x,y) \\ b(x,y) \\ 1 \end{bmatrix}_{new} = \begin{bmatrix} c & 0 & 0 \\ 0 & d & 0 \\ 0 & 0 & 1 \end{bmatrix} \begin{bmatrix} x \\ y \\ 1 \end{bmatrix}_{old}$$

c, d 相等, 按比例缩放

c, d 不相等, 不按比例缩放——几何畸变



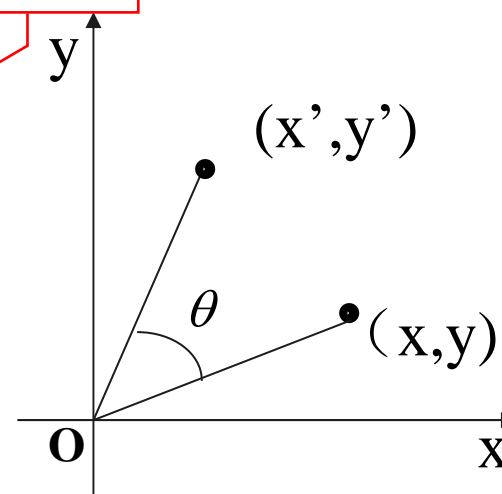
图像的空域变换——几何变换

■ 旋转变换:绕原点旋转 θ 度

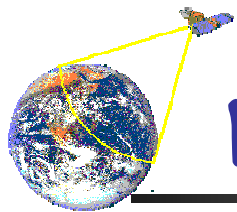
设:

$$\begin{cases} x' = x \cos \theta - y \sin \theta \\ y' = x \sin \theta + y \cos \theta \end{cases}$$

按原点逆时针
旋转一个角度

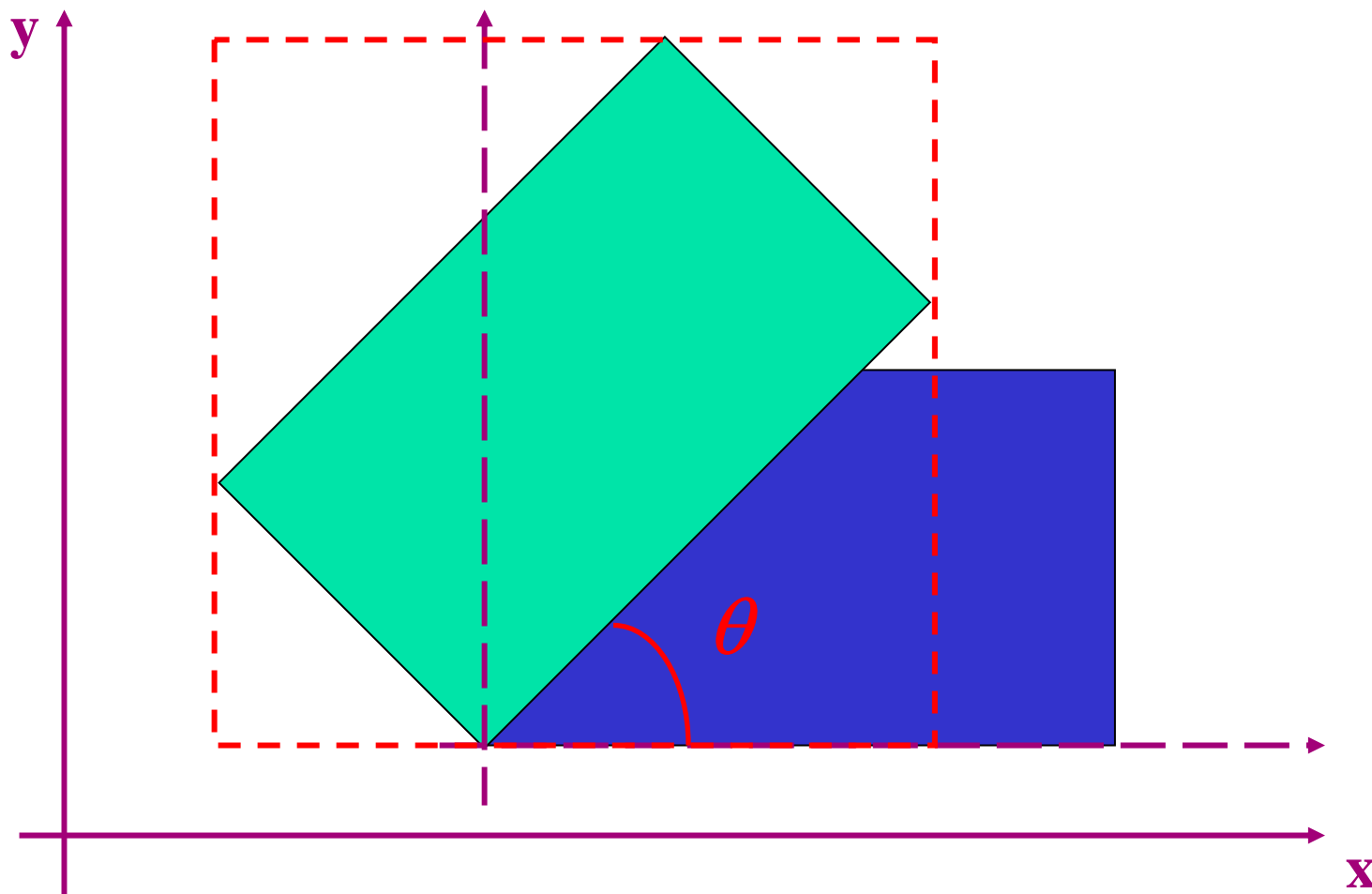


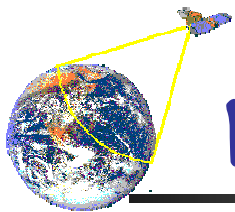
$$\begin{bmatrix} x' \\ y' \\ 1 \end{bmatrix}_{new} = \begin{bmatrix} a(x,y) \\ b(x,y) \\ 1 \end{bmatrix}_{new} = \begin{bmatrix} \cos(\theta) & -\sin(\theta) & 0 \\ \sin(\theta) & \cos(\theta) & 0 \\ 0 & 0 & 1 \end{bmatrix} \begin{bmatrix} x \\ y \\ 1 \end{bmatrix}_{old}$$



图像的空域变换——几何变换

- 旋转变换: 绕原点旋转 θ 度

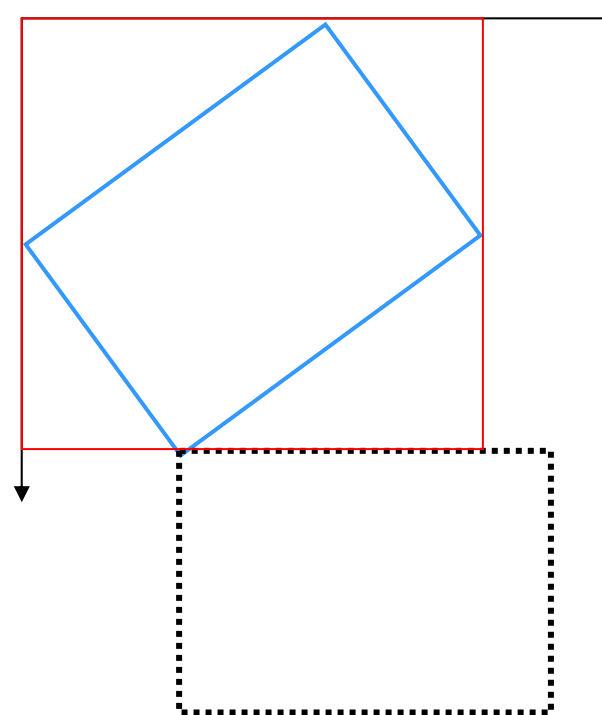
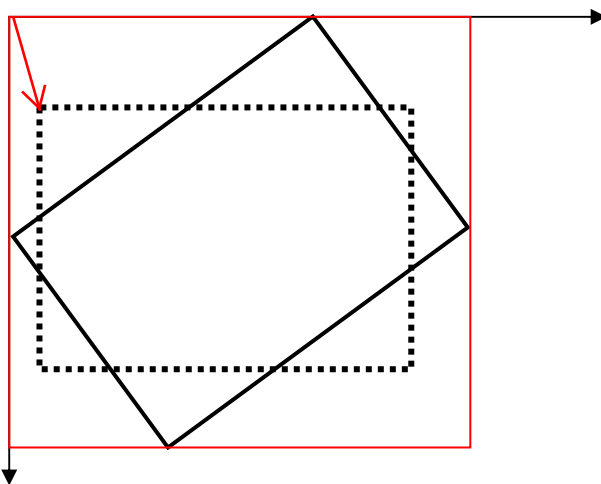




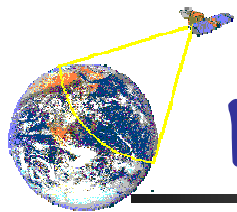
图像的空域变换—几何变换

■ 旋转变换的注意点

1) 图像旋转之前，为了避免信息的丢失，一定有平移坐标，具体的做法有如图所示的两种方法。



+ Rotate

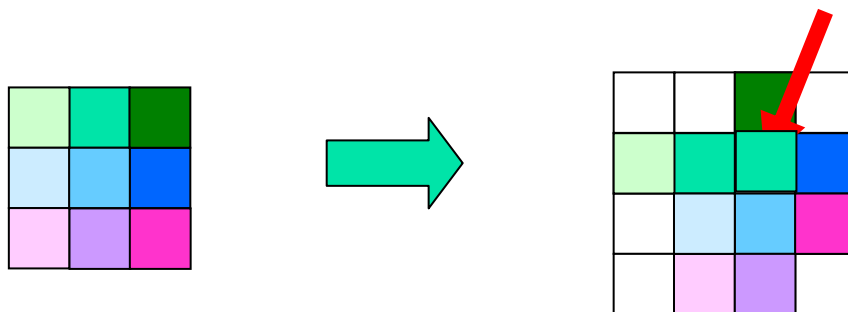


图像的空域变换——几何变换

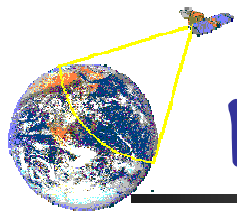
■ 旋转变换的注意点

图像的旋转注意点:

- 2) 图像旋转之后, 会出现许多的空洞点, 对这些空洞点必须进行填充处理, 否则画面效果不好。称这种操作为插值处理。



经过插值处理之后, 图像效果就变得自然。



图像的空域变换——几何变换

■ 图像的错切变换

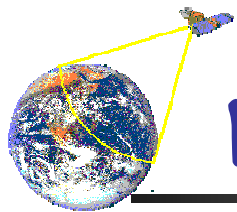
图像的错切变换实际上是景物在平面上的非垂直投影效果。

$$\begin{cases} x' = x + d_x y \\ y' = y \end{cases} \quad (x \text{ 方向的错切})$$

$$\begin{bmatrix} x' \\ y' \\ 1 \end{bmatrix}_{new} = \begin{bmatrix} 1 & d_x & 0 \\ 0 & 1 & 0 \\ 0 & 0 & 1 \end{bmatrix} \begin{bmatrix} x \\ y \\ 1 \end{bmatrix}_{old}$$

$$\begin{cases} x' = x \\ y' = y + d_y x \end{cases} \quad (y \text{ 方向的错切})$$

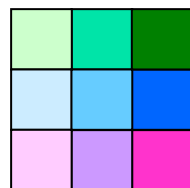
$$\begin{bmatrix} x' \\ y' \\ 1 \end{bmatrix}_{new} = \begin{bmatrix} 1 & 0 & 0 \\ d_y & 1 & 0 \\ 0 & 0 & 1 \end{bmatrix} \begin{bmatrix} x \\ y \\ 1 \end{bmatrix}_{old}$$



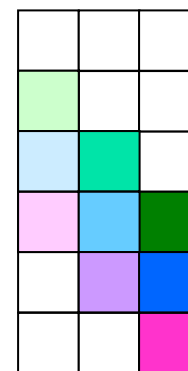
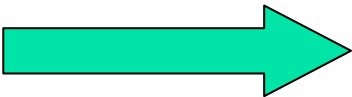
图像的空域变换——几何变换

➤ 例：图像的错切变换

- ✓ 可以看到，错切之后原图像的像素排列方向改变。与旋转不同的是，x方向与y方向独立变化。

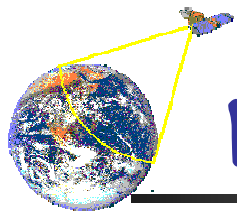


$d_y = -1$ (往下移)



$d_x = 1$ (往前)

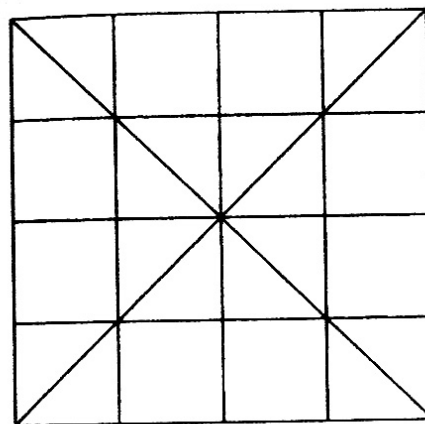




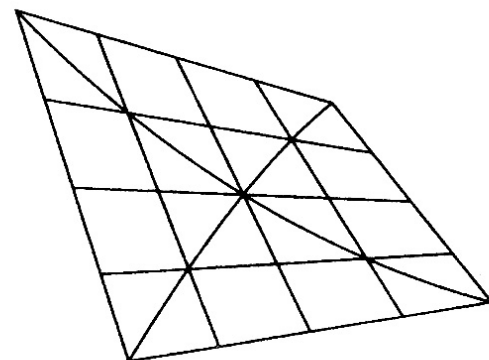
图像的空域变换——几何变换

■ 伪仿射变换——双线性几何变换

$$\begin{aligned}x' &= ax + by + \boxed{gxy} + e \\ y' &= cx + dy + \boxed{hxy} + f\end{aligned}$$



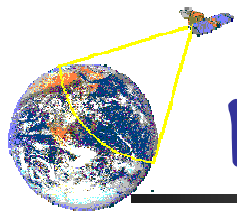
(a) 变换前



(b) 变换后

➤ 特点:

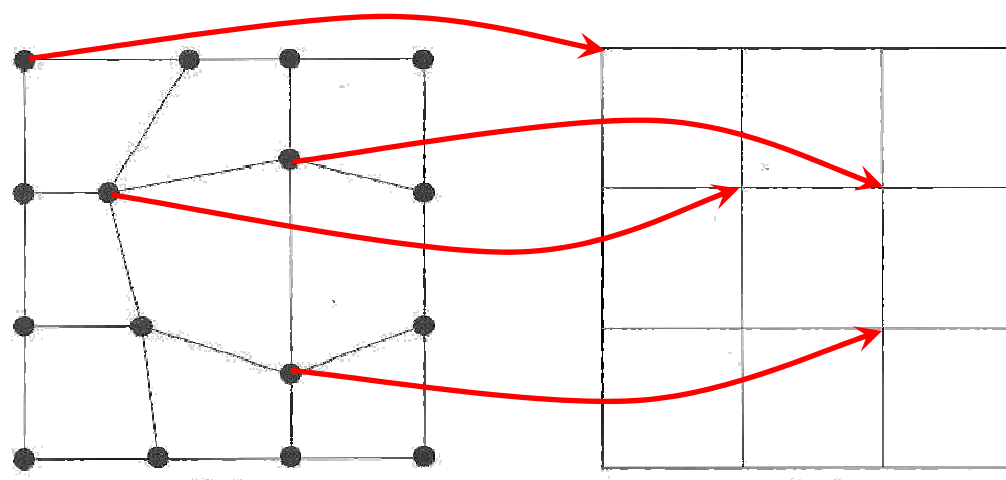
- ✓ 与xy平面上坐标轴平行的直线，变换为x'y'平面上的直线
- ✓ 与xy平面上坐标轴不平行的直线，变换为x'y'平面上的曲线



图像的空域变换——几何变换

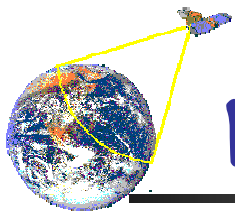
■ 任意变形变换——非线性几何变换

- 在二维平面上，实现图像几何形状的任意变换
- 在二维平面上，校正图像的几何失真
- 特征：一般的，原始图像与目标图像之间，存在一一对应的特征点（**tiepoints**, **GCPs**）



原始图像

目标图像



图像的空域变换——几何变换

■ 任意变形变换——非线性几何变换（续）

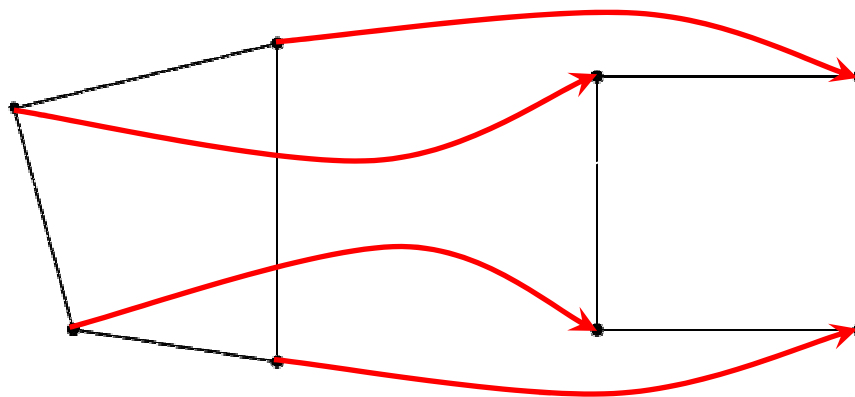
- 模型：一般的，原始图像与目标图像之间的坐标变换函数为非线性函数，需用高阶多项式进行近似描述

✓ 例：三阶多项式变换

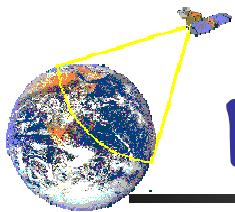
$$x = a_0 + a_1X + a_2Y + a_3X^2 + a_4XY + a_5Y^2 + a_6X^3 + a_7X^2Y + a_8XY^2 + a_9Y^3$$

$$y = b_0 + b_1X + b_2Y + b_3X^2 + b_4XY + b_5Y^2 + b_6X^3 + b_7X^2Y + b_8XY^2 + b_9Y^3$$

- 通过原始图像与目标图像之间多个对应特征点（GCP点），可以确定上述多项式中的未知参数



利用多个对应特征点对的坐标，确定多项式参数



图像的空域变换——几何变换

■ 任意变形变换——非线性几何变换（续）

➤ 多项式阶数与GCP数量的关系：

确定多项式变换参数的必要条件

$$GCP_s \geq \frac{(t+1)(t+2)}{2}$$

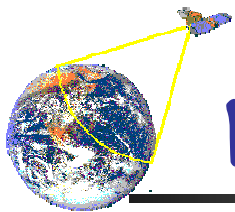
t : 多项式阶数

➤ 通过多项式变换进行任意变形变换后的误差，通常用均方误差表示：

$$RMS = \sqrt{\frac{\sum_{j=1}^n (x_{jr} - x_{ji})^2 + \sum_{j=1}^n (y_{jr} - y_{ji})^2}{n}}$$

参考坐标点和变换坐标点间的RMS

➤ 变换示例

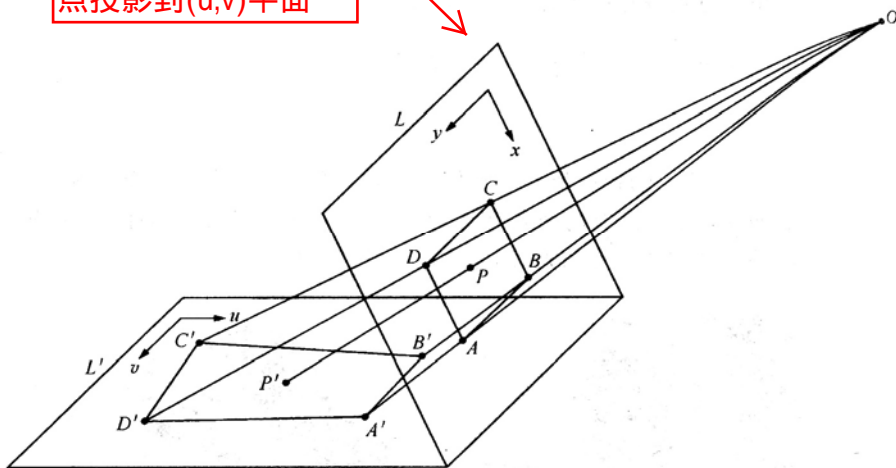


图像的空域变换—几何变换

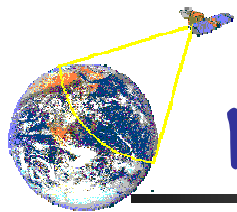
■ 二维图像的透视变换

- 将一个平面上的点 $P(x,y)$ ，以投影中心 O 为基准，投影成另一个平面上的点 $P'(x',y')$
- 可看作为三维物体向二维图像透视投影的特殊形式

以 o 为投影中心基准，将 (x,y) 平面上的点投影到 (u,v) 平面



二维图像透视变换示例



图像的空域变换——几何变换

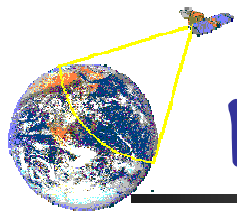
■ 二维图像的透视变换（续）

➤ 二维图像透视变换函数及其齐次坐标表示为：

$$x' = \frac{ax + by + e}{mx + ly + 1}; \quad y' = \frac{cx + dy + f}{mx + ly + 1} \quad \begin{bmatrix} x' \\ y' \\ 1 \end{bmatrix} = T \times \begin{bmatrix} x \\ y \\ 1 \end{bmatrix} \quad T = \left[\begin{array}{cc|c} a & b & e \\ c & d & f \\ \hline m & l & 1 \end{array} \right]$$

注： $mx + ly + 1 = 1$

➤ 与前面关于齐次变换矩阵的描述类似，这里引入第三个子矩阵 $[m \ l]$ ，实现图像的透视变换



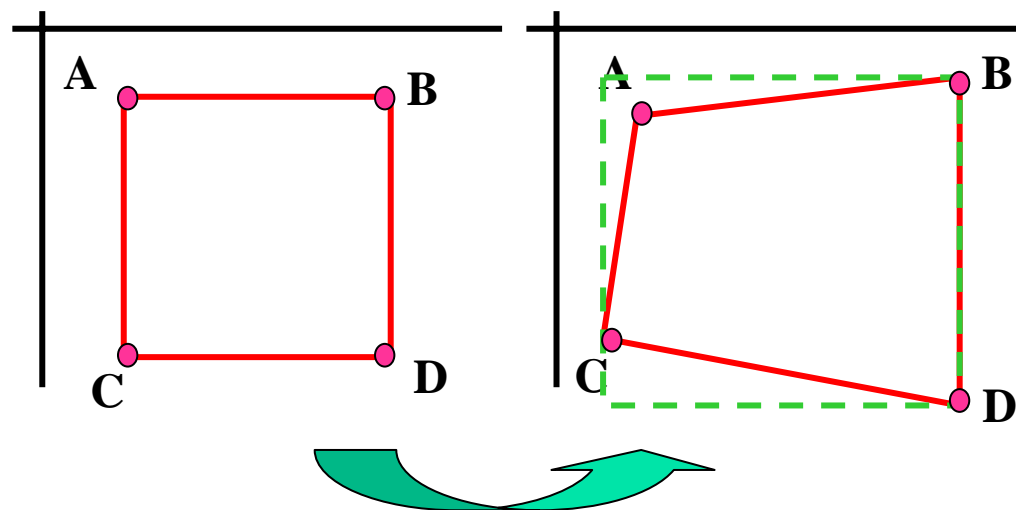
图像的空域变换—几何变换

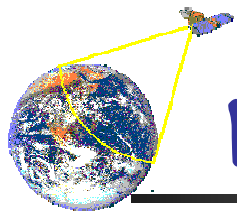
■ 二维图像的透视变换（续）

- 变换式中共有8个独立的参数，可采用图像点对的方式，进行二维平面图像的透视投影计算

$$x' = \frac{ax + by + e}{mx + ly + 1}; \quad y' = \frac{cx + dy + f}{mx + ly + 1}$$

- 2个独立的方程
- 8个独立的参数
- 4个GCP， $4 \times 2 \geq 8$





图像的空域变换——几何变换

■ 基本几何变换的特征

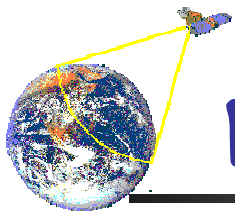
➤ 坐标空间的变化

- ✓ 范围发生变化

- ✓ 大小发生变化

➤ 像素值的变化

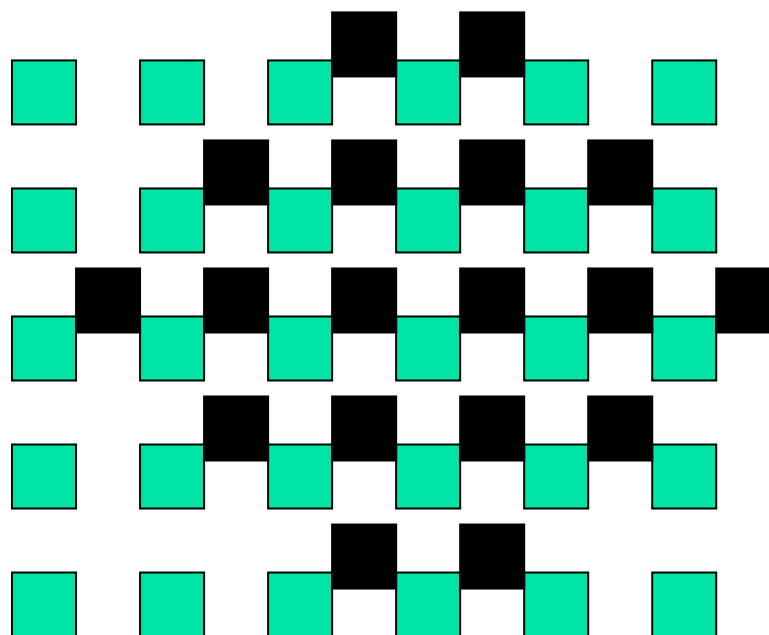
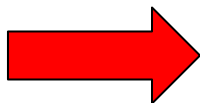
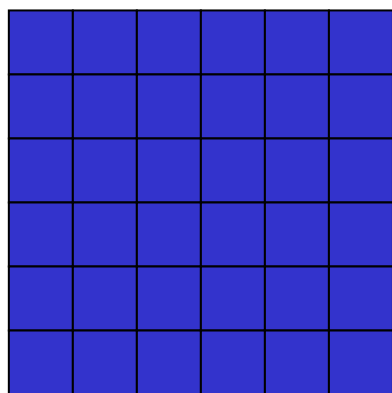
- ✓ 像素值不发生变化——位置改变

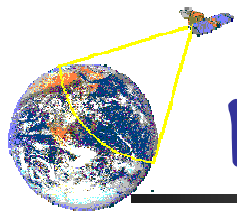


图像的空域变换——几何变换

➤ 旋转、缩放、变形变换中的漏点、不规则点问题

新坐标系显示格点
上的像素值待确定





图像的空域变换——几何变换

■ 离散几何变换的计算问题

➤ 空间坐标

- ✓ 向前映射法

- ✓ 向后映射法

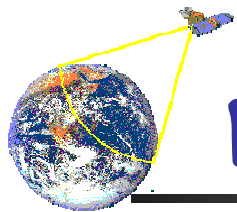
重采样变换 —》对于显示格
点的重采样

➤ 像素值计算——灰度插值（重采样）

- ✓ 最近邻插值法

- ✓ 双线性插值（一阶插值）

- ✓ 高阶插值



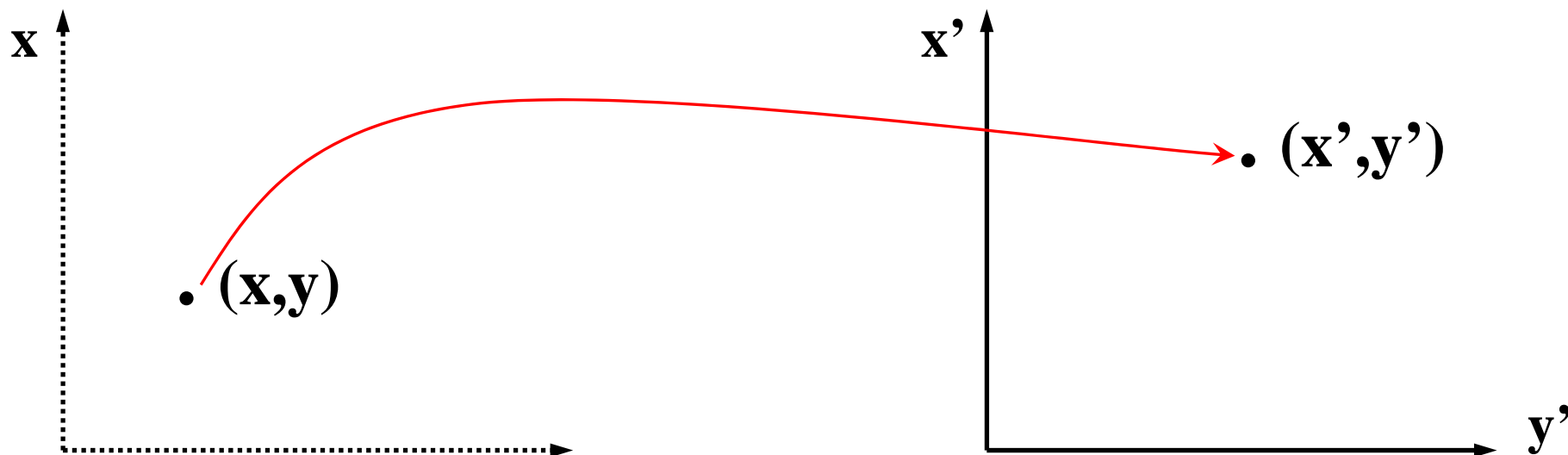
图像的空域变换——几何变换

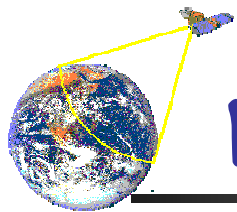
■ 向前映射算法

$$g(x',y') = g(a(x,y), b(x,y)) = f(x, y);$$

➤ 从原图像坐标计算出目标图像坐标

✓ 镜像、平移变换使用这种计算方法





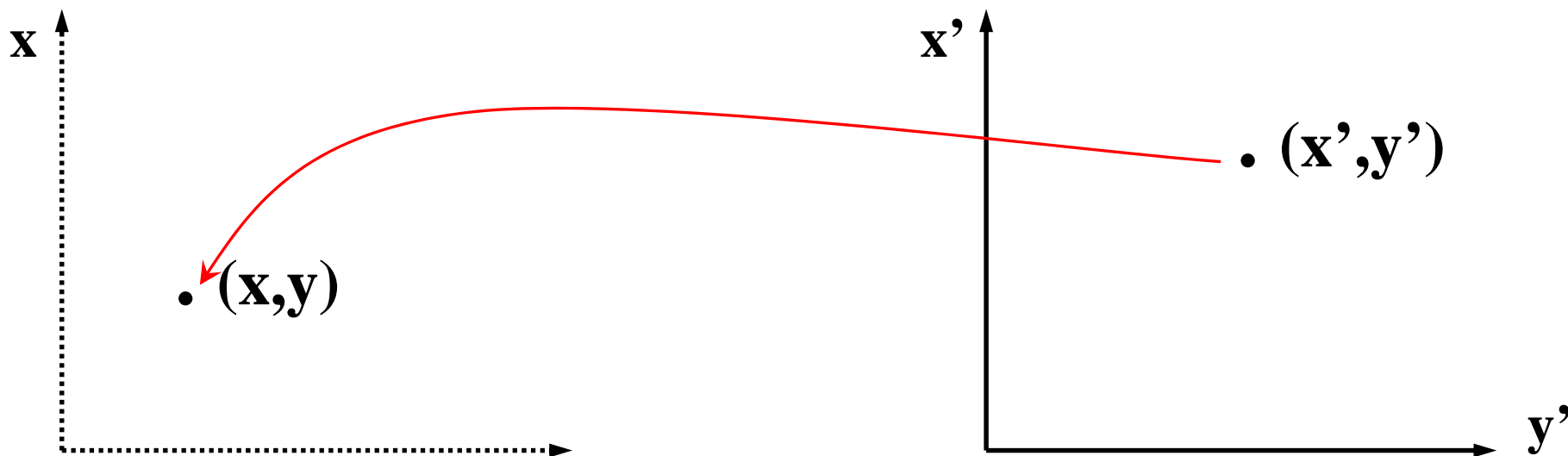
图像的空域变换—几何变换

■ 向后映射算法

$$g(x', y') = f(a^{-1}(x', y'), b^{-1}(x', y')) ;$$

➤ 从结果图像的坐标计算原图像的坐标

✓ 旋转、缩放、变形可以使用



有关向前和向后映射

插值：向前映射

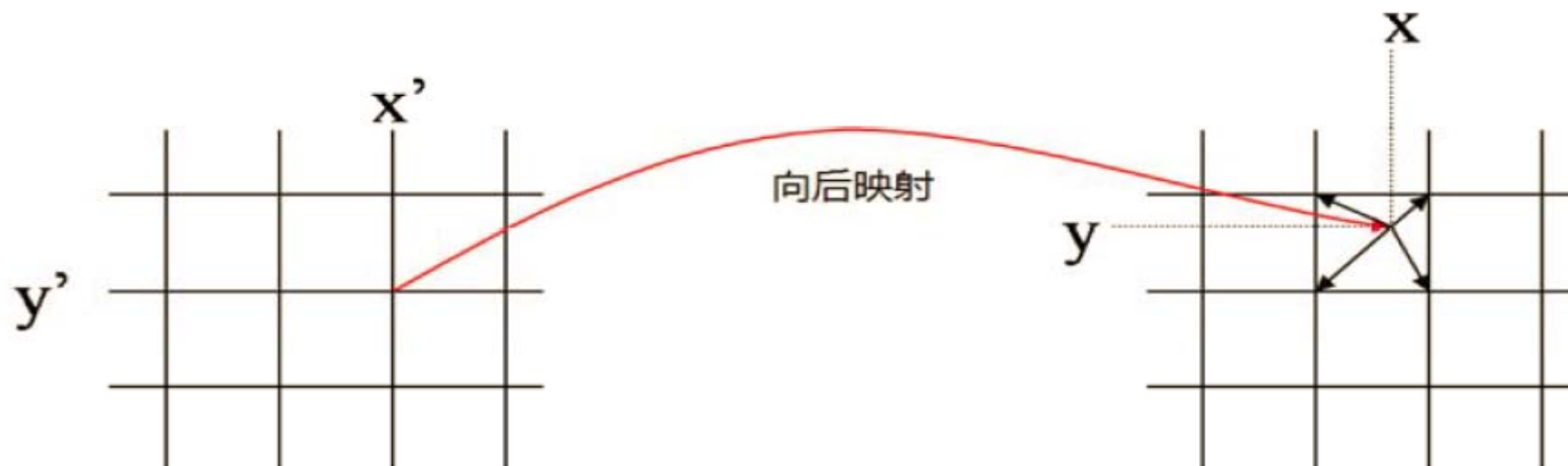
- 显示格点 (x, y) 经向前映射后一般都不在显示格点上（见下图），因此变换后图像显示格点上的像素值需要据映射后的像素插值得到。
- 除平移或对称映射情形，计算复杂。



有关向前和向后映射 (续)

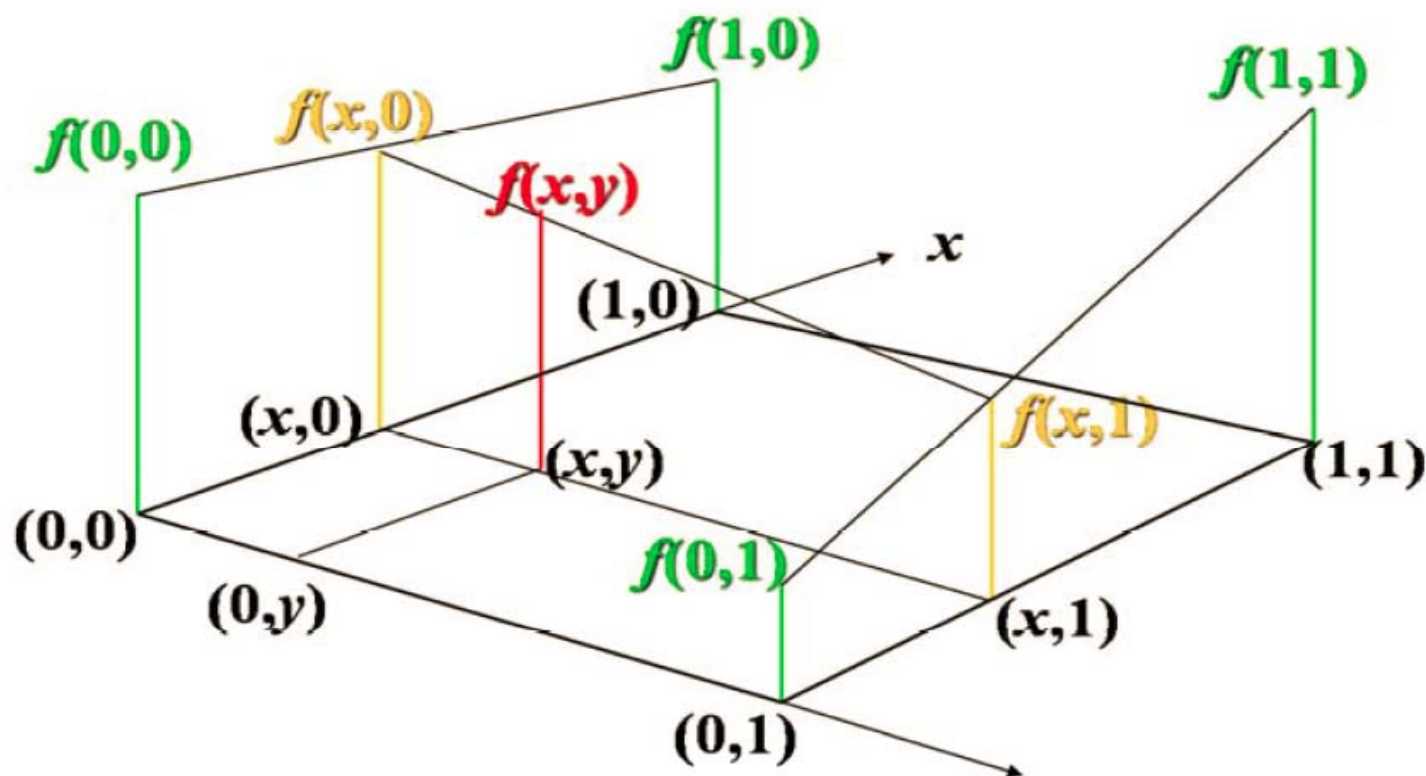
插值：向后映射

- 对于一般几何变换，~~先~~^向后映射比较直观和简单。给定目标图像显示格点上 (x', y') 的像素值，经向后映射得到在原图像上的位置 $(x, y) = (a^{-1}(x', y'), b^{-1}(x', y'))$ 一般不在显示格点上。
- 可以由其在原图像上近邻的 4 个显示格点，通过插值（例如双线性插值），得到 $g(x', y')$ 。

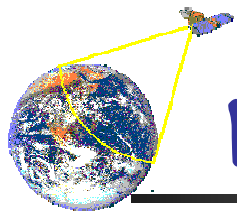


有关向前和向后映射（续）

以下给出了双线性插值图示：

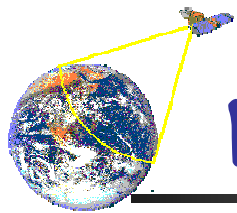


$$f(x, y) = (1 - x) * (1 - y) * f(0, 0) + (1 - x) * y * f(0, 1) + x * (1 - y) * f(1, 0) + x * y * f(1, 1)$$



图像的空域变换——几何变换

- 复合变换——多种变换的计算
 - 注意计算的顺序
 - 将多级变换合并为一级变换
- 例： 围绕任意坐标点的旋转 (x_0, y_0)
 - (1) 将 (x_0, y_0) 点平移至坐标原点 ($0, 0$)
 - (2) 旋转
 - (3) 平移回 (x_0, y_0) 点

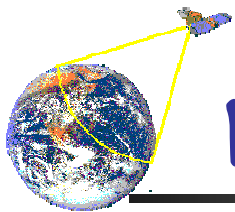


图像的空域变换——几何变换

■ 复合变换——多种变换的计算

$$(1) \begin{bmatrix} x' \\ y' \\ 1 \end{bmatrix}_{new} = \begin{bmatrix} a(x, y) \\ b(x, y) \\ 1 \end{bmatrix}_{new} = \begin{bmatrix} 1 & 0 & x_0 \\ 0 & 1 & y_0 \\ 0 & 0 & 1 \end{bmatrix} \begin{bmatrix} x \\ y \\ 1 \end{bmatrix}_{transl}$$

$$(2) \begin{bmatrix} x \\ y \\ 1 \end{bmatrix}_{transl} = \begin{bmatrix} \cos(\theta) & -\sin(\theta) & 0 \\ \sin(\theta) & \cos(\theta) & 0 \\ 0 & 0 & 1 \end{bmatrix} \begin{bmatrix} x \\ y \\ 1 \end{bmatrix}_{trans \& rot}$$



图像的空域变换——几何变换

$$(3) \begin{bmatrix} x \\ y \\ 1 \end{bmatrix}_{trans \& rot} = \begin{bmatrix} 1 & 0 & -x_0 \\ 0 & 1 & -y_0 \\ 0 & 0 & 1 \end{bmatrix} \begin{bmatrix} x \\ y \\ 1 \end{bmatrix}_{old}$$

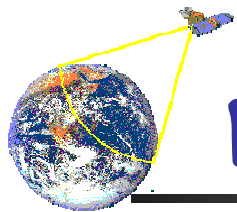
通过矩阵的线性运算形成一次变换式

第一次：平移到原点

$$\begin{bmatrix} x' \\ y' \\ 1 \end{bmatrix}_{new} = \begin{bmatrix} 1 & 0 & x_0 \\ 0 & 1 & y_0 \\ 0 & 0 & 1 \end{bmatrix} \begin{bmatrix} \cos(\theta) & -\sin(\theta) & 0 \\ \sin(\theta) & \cos(\theta) & 0 \\ 0 & 0 & 1 \end{bmatrix} \begin{bmatrix} 1 & 0 & -x_0 \\ 0 & 1 & -y_0 \\ 0 & 0 & 1 \end{bmatrix} \begin{bmatrix} x \\ y \\ 1 \end{bmatrix}_{tl \& r \& rtl}$$

第三次：反平移

第二次：旋转



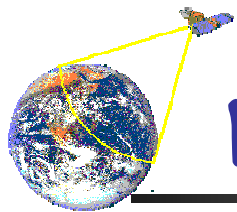
图像的空域变换——灰度插值

■ 灰度插值——最近邻插值法

➤ 选择最临近点像素灰度值

(x',y') 点像素的灰度值为原图中 (x,y) 点的像素值

(x,y)		$(x+1,y)$	
	$\bullet (x',y')$		
$(x,y+1)$		$(x+1,y+1)$	



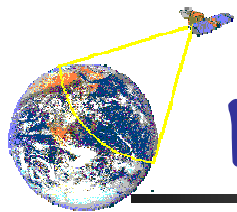
图像的空域变换——灰度插值

■ 灰度插值——最近邻插值法

➤ 特点

- ✓ 简单快速
 - ✓ 灰度保真性好
 - ✓ 误差较大
 - ✓ 视觉特性较差
- 马赛克效应





图像的空域变换——灰度插值

■ 灰度插值——双线性插值（一阶插值）

$$f'(x', y') =$$

$$a \cdot f(x, y) + b \cdot f(x, y+1)$$

$$f''(x', y') =$$

$$c \cdot f(x, y) + d \cdot f(x+1, y)$$

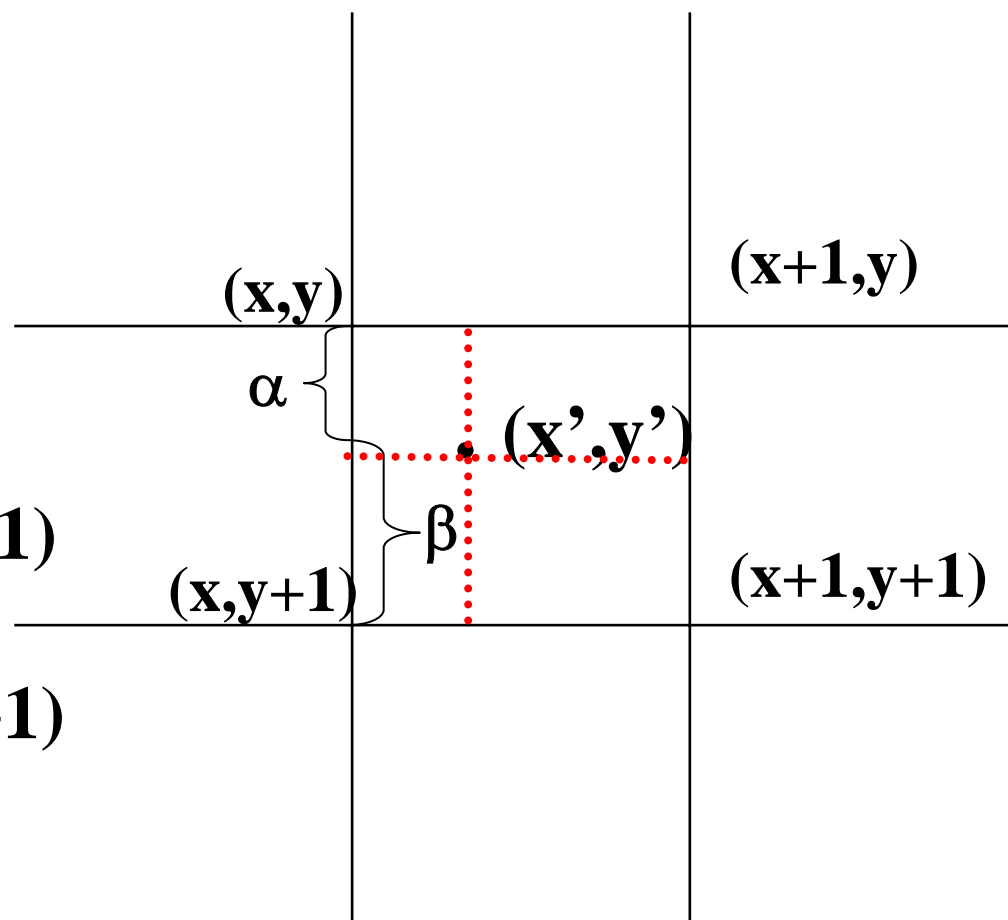
$$f'''(x', y') =$$

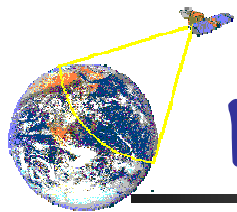
$$u \cdot f(x, y+1) + v \cdot f(x+1, y+1)$$

$$f''''(x', y') =$$

$$w \cdot f(x+1, y) + z \cdot f(x+1, y+1)$$

$$f(x', y') = \dots\dots$$





图像的空域变换——灰度插值

■ 双线性插值——简化计算方法

➤ 应用双曲抛物面方程

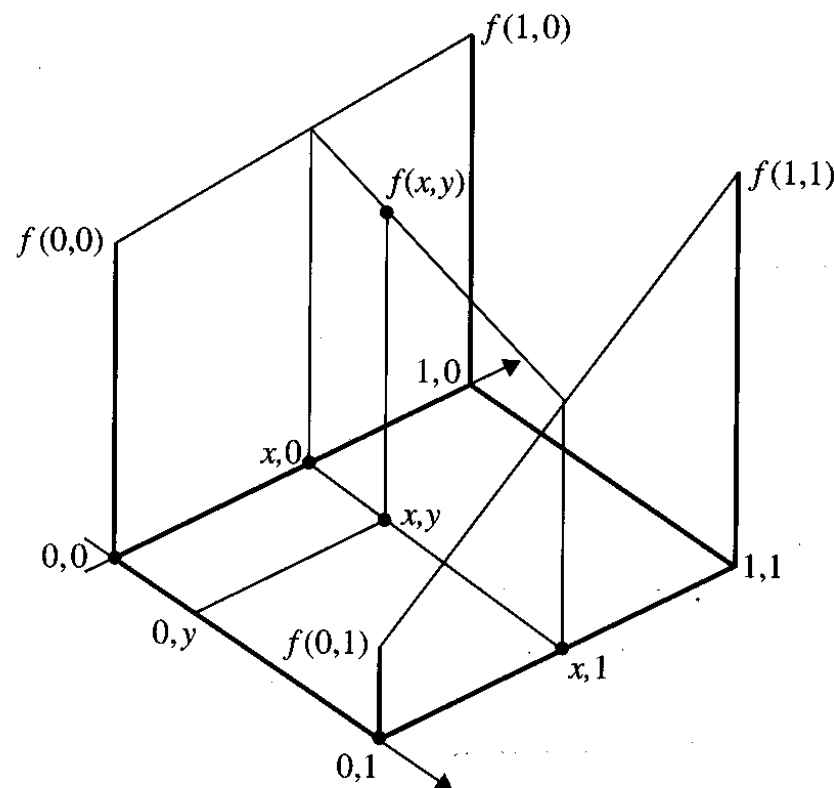
$$f(x, y) = ax + by + cxy + d$$

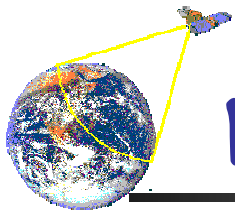
➤ 归一化坐标值

$$0 > x > 1, 0 > y > 1$$

➤ 可有:

$$\begin{aligned} f(x, y) = & [f(1, 0) - f(0, 0)]x + [f(0, 1) - f(0, 0)]y \\ & + [f(1, 1) + f(0, 0) - f(0, 1) - f(1, 0)]xy + f(0, 0) \end{aligned}$$





图像的空域变换——灰度插值

■ 线性运算理论

➤ 如果 f 是一个线性运算，则

$$f(x_1 + x_2, y) = f(x_1, y) + f(x_2, y)$$

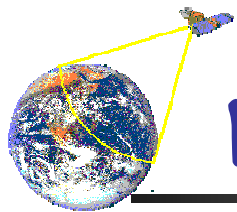
➤ 但对

$$f(x, y) = ax + by + cxy + d$$

➤ 则有

$$f(x_1 + x_2, y) = a(x_1 + x_2) + by + c(x_1 + x_2)y + d$$

$$f(x_1 + x_2, y) = ax_1 + ax_2 + by + cx_1y + cx_2y + d$$



图像的空域变换——灰度插值

■ 灰度插值——双线性插值（一阶插值）

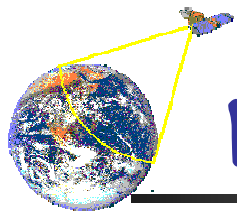
- 双线性插值一般理论——双曲抛物面方程插值

$$f(x, y) = ax + by + cxy + d$$

- 需得到四个未知参数——利用四个已知点

- 特点

- ✓ 计算中较为充分地考虑相邻各点的特征，具有灰度平滑过渡特点
- ✓ 一般情况下可得到满意结果
- ✓ 具有低通滤波特性，使图像轮廓模糊
- ✓ 平滑作用使图像细节退化，尤其在放大时
- ✓ 不连续性会产生不希望的结果



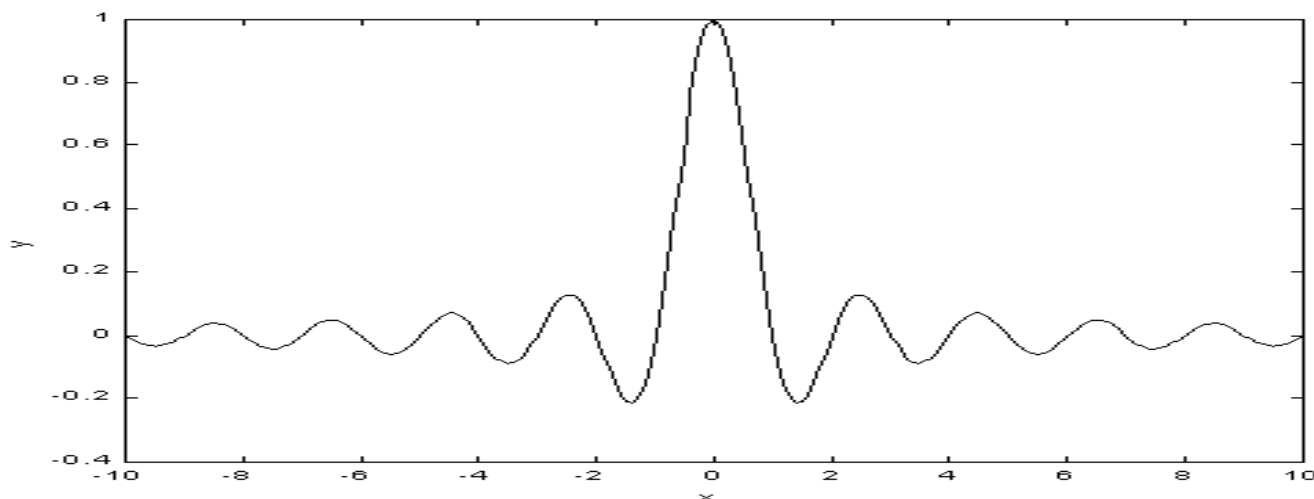
图像的空域变换——灰度插值

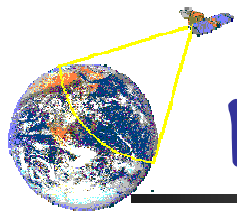
■ 灰度插值——最佳插值函数

➤ 在满足Nyquist条件下，从离散信号 $x(nT_s)$ 可恢复连续信号 $x(t)$ ：

在满足乃奎斯特抽样条件下，可以无失真恢复，但需要无穷抽样点

$$\therefore x(t) = \sum_{i=-\infty}^{+\infty} x(nT_s) \sin c\left(\frac{\pi}{T_s}(t - nT_s)\right)$$

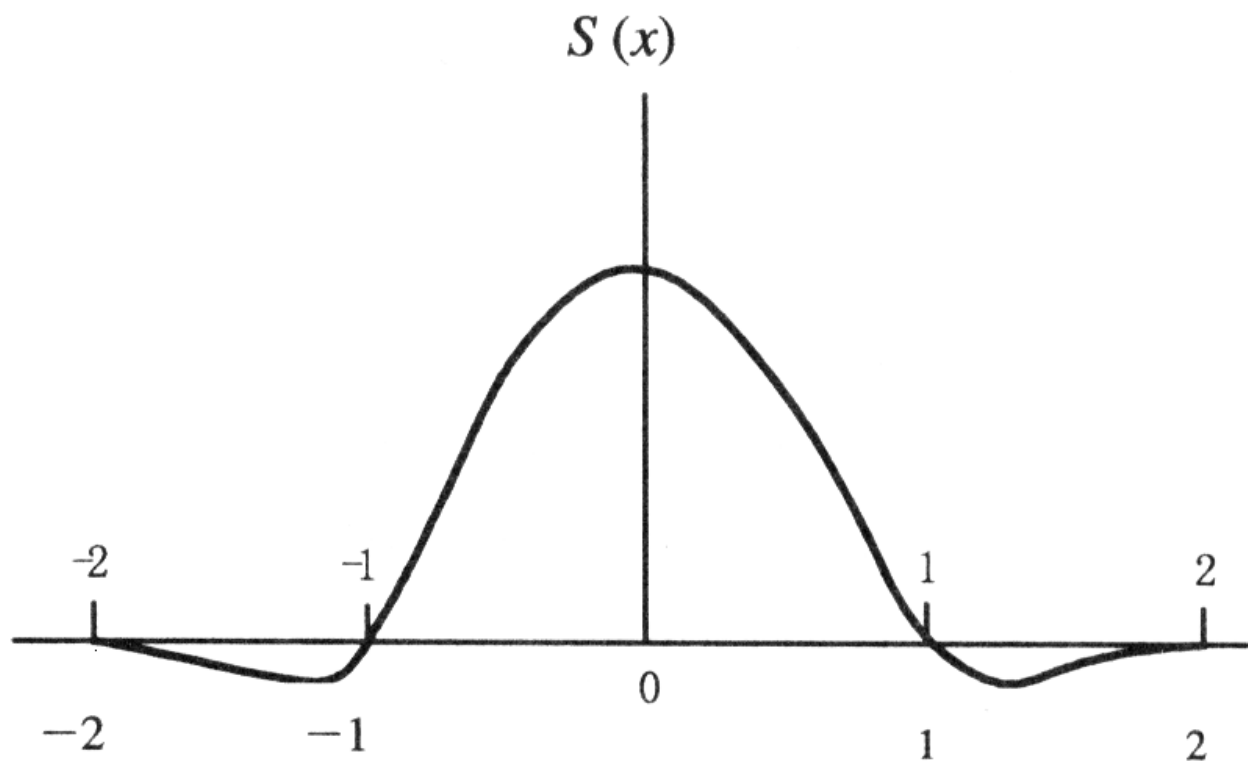


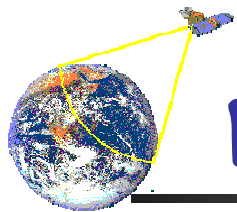


图像的空域变换——灰度插值

■ 灰度插值——高阶插值

➤ 如果简化计算，仅取原点周围有限范围函数：





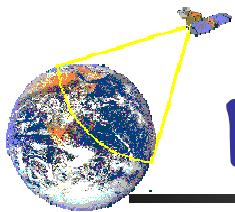
图像的空域变换——灰度插值

■ 灰度插值——高阶插值

- 并利用三次多项式来近似理论上的最佳插值函数 $\text{sinc}(x)$:

$$S(x) = \begin{cases} 1 - 2|x|^2 + |x|^3 & |x| < 1 \\ 4 - 8|x| + 5|x|^2 - |x|^3 & 1 \leq |x| \leq 2 \\ 0 & |x| > 2 \end{cases}$$

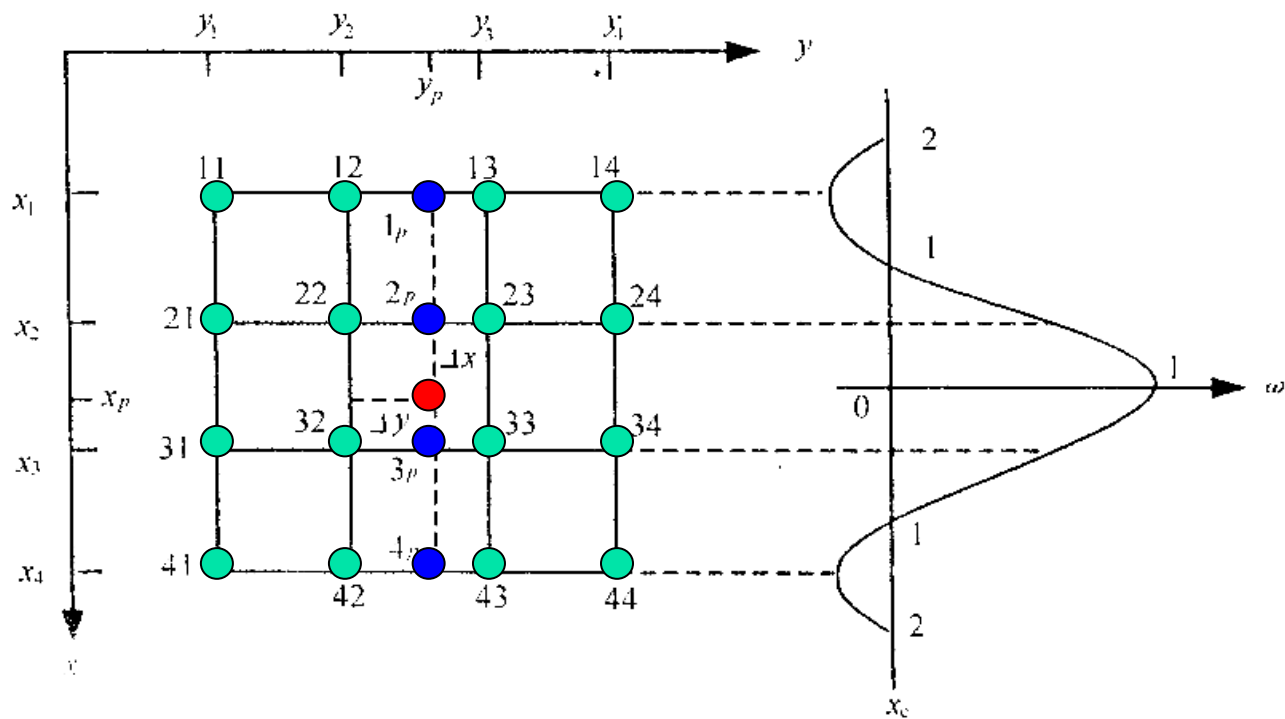
- 由此形成常用的三次卷积插值算法，又称三次内插法，两次立方方法 (Cubic)。CC插值法等



图像的空域变换——灰度插值

■ 灰度插值——三次卷积插值算法实现

➤ 利用待插值点周围的16个邻点像素值:



➤ 首先确定辅助点位 $1p$, $2p$, $3p$, $4p$ 各点亮度值

➤ 再由确定 p 点亮度值

双立方插值 (Bicubic)

插值公式:

$$f(i+x, j+y) = \mathbf{ABC}$$

$S(x)$ 为双立方插值核

其中: $0 \leq |x|, |y| \leq 1$, \mathbf{A} , \mathbf{B} 和 \mathbf{C} 为矩阵

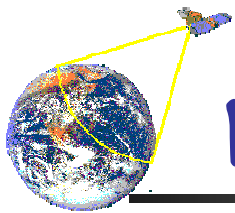
$$\mathbf{A} = [S(1+x) \quad S(x) \quad S(1-x) \quad S(2-x)]$$

$$\mathbf{C} = [S(1+y) \quad S(y) \quad S(1-y) \quad S(2-y)]^T$$

双立方插值 (Bicubic)

矩阵**B** 则用到相邻 16 个格点的灰度值:

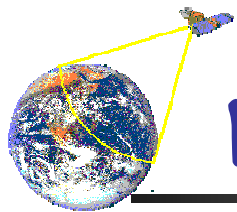
$$\mathbf{B} = \begin{bmatrix} f(i-1, j-2) & f(i, j-2) & f(i+1, j-2) & f(i+2, j-2) \\ f(i-1, j-1) & f(i, j-1) & f(i+1, j-1) & f(i+2, j-1) \\ f(i-1, j) & f(i, j) & f(i+1, j) & f(i+2, j) \\ f(i-1, j+1) & f(i, j+1) & f(i+1, j+1) & f(i+2, j+1) \end{bmatrix}$$



图像的空域变换——灰度插值

■ 灰度插值——三次卷积插值算法特点

- 为满足二维Nyquist条件下，最佳重构公式的近似
- 只有图像满足特定的条件，三次卷积插值算法才可获得最佳结果
- 可使待求点的灰度值更好地模拟实际可能值
- 可取得更好的视觉效果
- 三次卷积内插突出的优点是高频信息损失少，可将噪声平滑
- 4×4 时，像元均值和标准差信息损失小
- 计算量大为增加

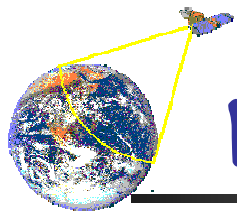


图像的空域变换——灰度插值

■ 灰度插值——图像处理中内插方法的选择

➤ 内插方法的选择除了考虑图像的显示要求及计算量，还要考虑内插结果对分析的影响

- ✓ 当纹理信息为主要信息时，最近邻采样将严重改变原图像的纹理信息
- ✓ 但灰度信息为主要信息时，双线性内插及三次卷积内插将减少图像异质性，增加图像同质性，其中，双线性内插方法使这种变化更为明显



图像的空域变换——非几何变换

■ 非几何变换的定义

对于原图像 $f(x,y)$ ，灰度值变换函数

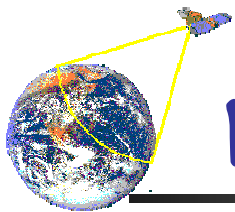
$$T(f(x,y))$$

唯一确定了非几何变换：

$$g(x,y) = T(f(x,y))$$

$g(x,y)$ 是目标图像

- 非几何变换属于像素值的变换，没有几何位置的改变——灰度变换
- 灰度变换的目的是为了改善画质，使图像的显示效果更加清晰



图像的空域变换—非几何变换

■ 基本非几何变换类型

Negative: $s = L - 1 - r$

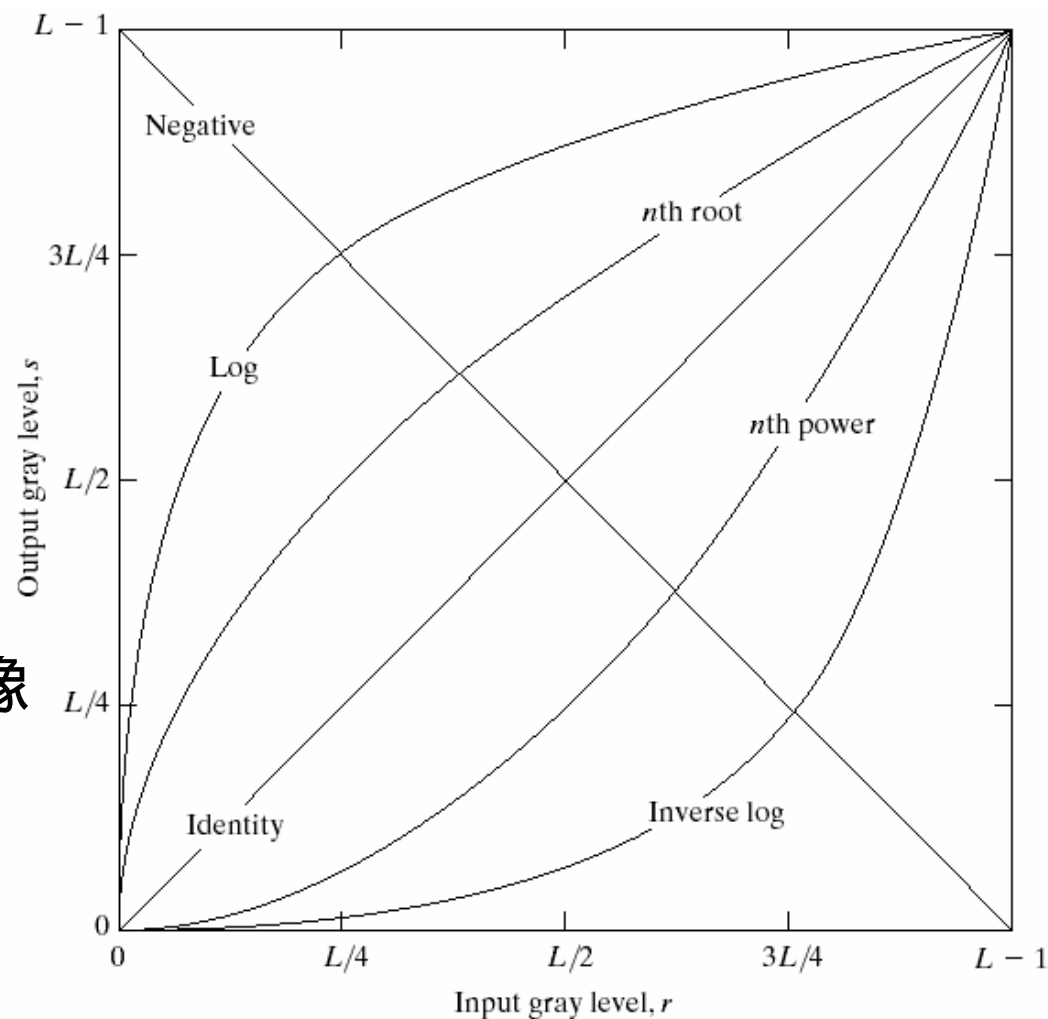
Log: $s = c \log(1 + r)$

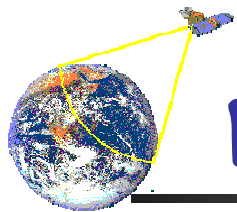
Inverse Log: $s = e^{cr} - 1$

Power-law: $s = cr^\gamma$

.....

r和s分别为原图像和目标图像
灰度值





图像的空域变换——非几何变换

■ 彩色图像的非几何变换定义

对于彩色原图像 $f(x,y)$ ，颜色值变换函数

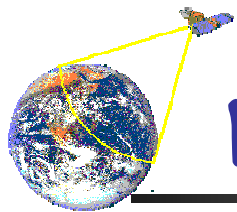
$$T_r(f(x,y)); T_g(f(x,y)); T_b(f(x,y));$$

唯一确定了非几何变换:

$$g_r(x,y) = T_r(f(x,y))$$

$$g_g(x,y) = T_g(f(x,y))$$

$$g_b(x,y) = T_b(f(x,y))$$



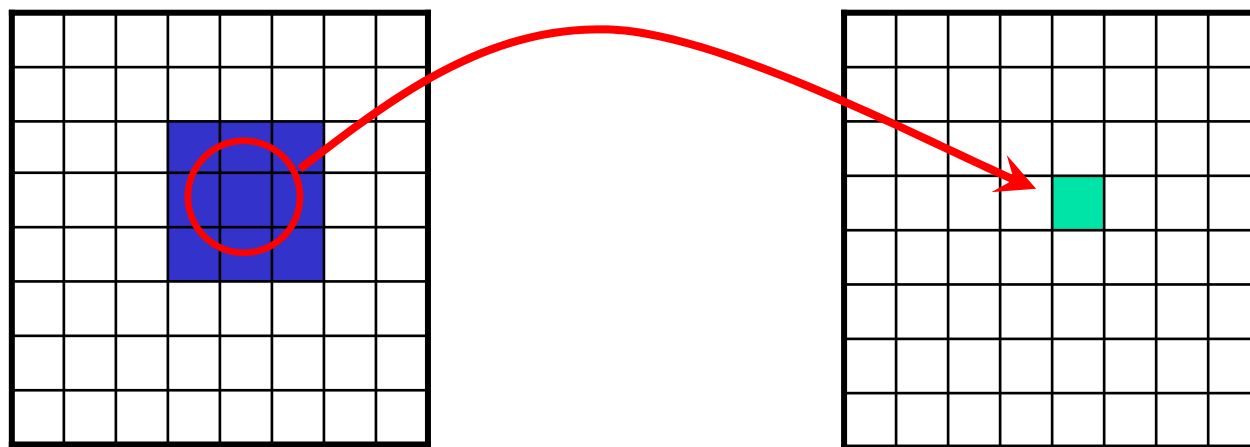
图像的空域变换——非几何变换

■ 离散非几何变换的计算

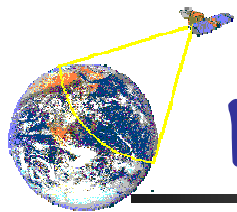
➤ 简单变换——像素值一一对应的映射

✓ 如伪彩色变换

➤ 复杂变换——同时考虑相邻各点的像素值



✓ 通常通过模板运算进行



图像的空域变换——非几何变换

■ 模板的定义

➤ 所谓模板就是一个系数矩阵

➤ 模板大小：经常是奇数，如：

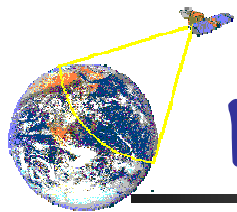
3x3 5x5 7x7

➤ 模板系数：矩阵的元素

w_1 w_2 w_3

w_4 w_5 w_6

w_7 w_8 w_9



图像的空域变换——非几何变换

■ 模板运算的定义

对于某图像的子图像:

$z_1 z_2 z_3$

$z_4 z_5 z_6$

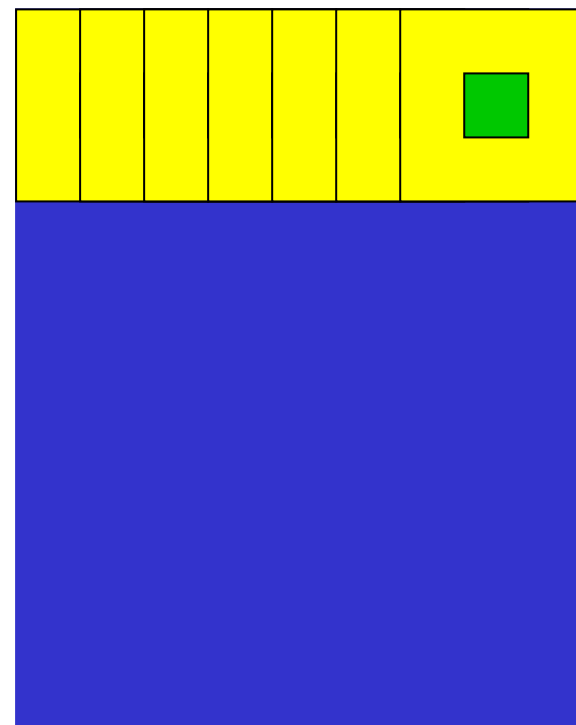
$z_7 z_8 z_9$

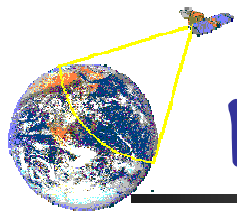
z_5 的模板运算公式为:

$$R = w_1 z_1 + w_2 z_2 + \dots + w_9 z_9$$

w_1, w_2, \dots, w_9

为加权系数。

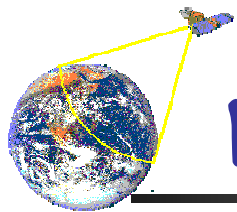




图像的空域变换——非几何变换

- 灰度变换（点运算）的定义(1)
 - 对于输入图像 $f(x, y)$ ，灰度变换 T 将产生一个输出图像 $g(x, y)$ ， $g(x, y)$ 的每一个像素值，均取决于 $f(x, y)$ 中对应点的像素值

$$g(x, y) = T(f(x, y))$$



图像的空域变换——非几何变换

- 灰度变换（点运算）的定义(2)

对于原图像 $f(x,y)$ ，灰度值变换函数

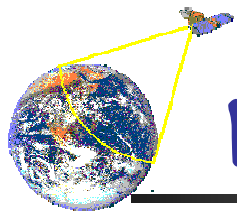
$$T(f(x,y))$$

由于灰度值总是有限个，如：0-255

非几何变换可定义为：

$$R = T(r)$$

其中 R, r 在0-255之间取值



图像的空域变换——非几何变换

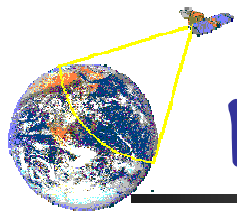
- 灰度变换（点运算）的实现

$R = T(r)$ 定义了输入像素值与输出像素之间的映射关系，通常通过查表来实现。

因此灰度级变换也被称为LUT（Look Up Table）变换。

0 1 2 3 4 5 6 7 8 9 ... 250 251 252 253 254 255

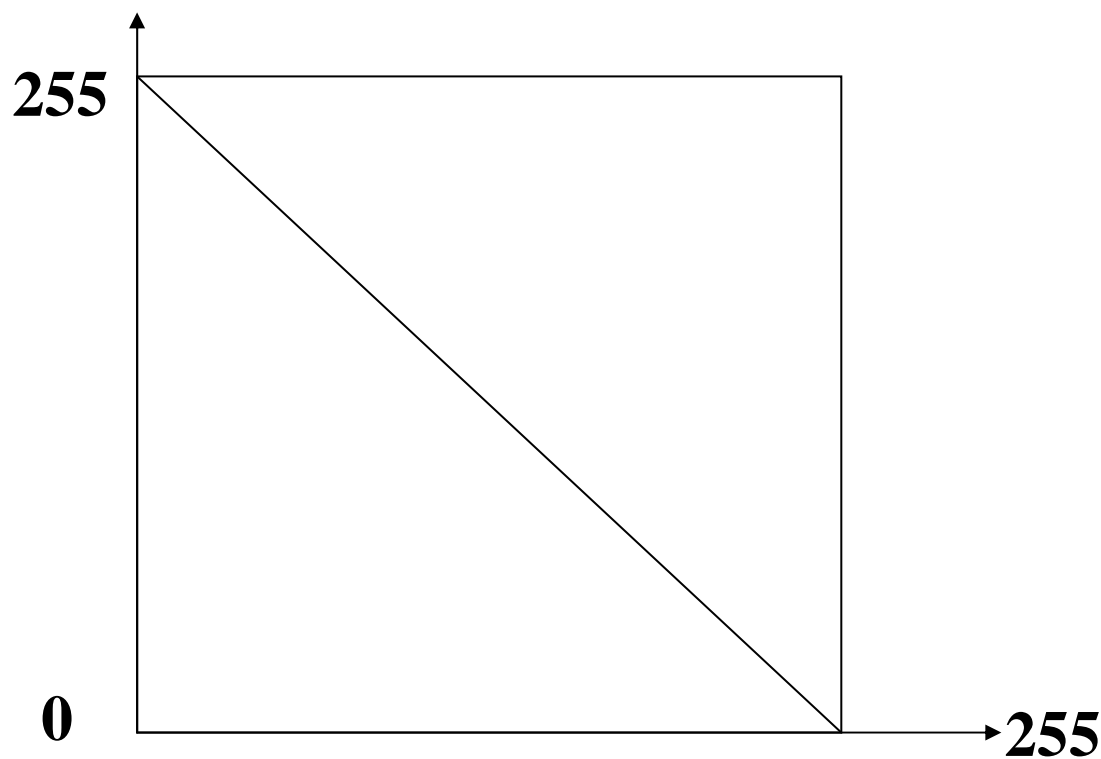
0 3 5 7 9 11 13 15 17 19 ... 252 253 254 254 254 255

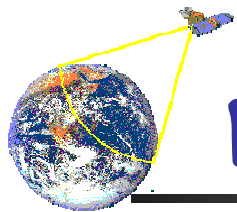


图像的空域变换——非几何变换

■ 灰度变换例 - 1

➤ 图像求反

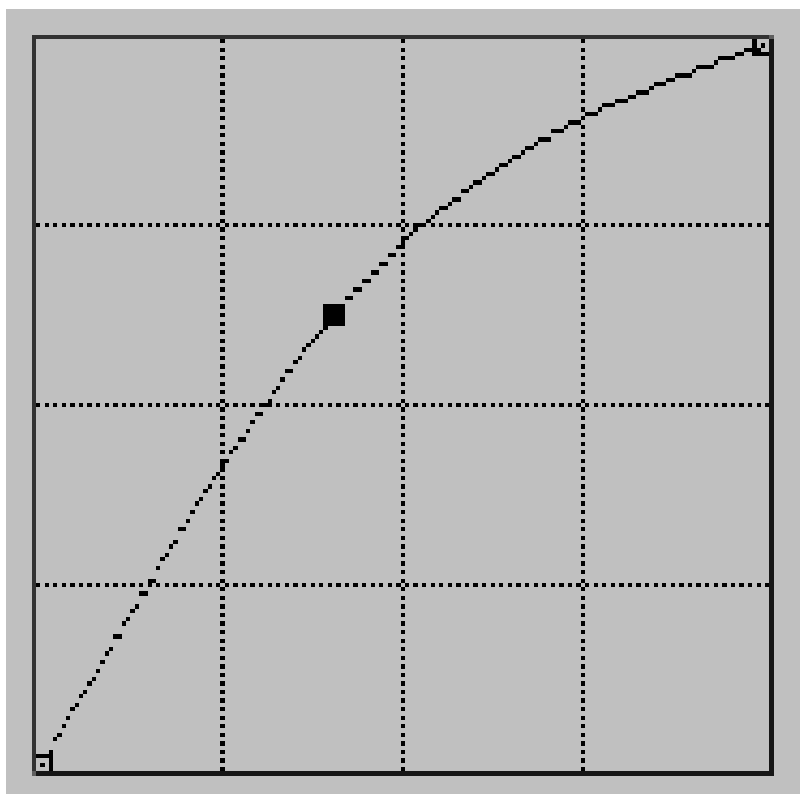


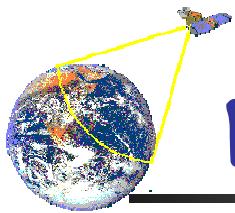


图像的空域变换——非几何变换

■ 灰度变换例 - 2

➤ 对比度拉伸





图像的空域变换——非几何变换

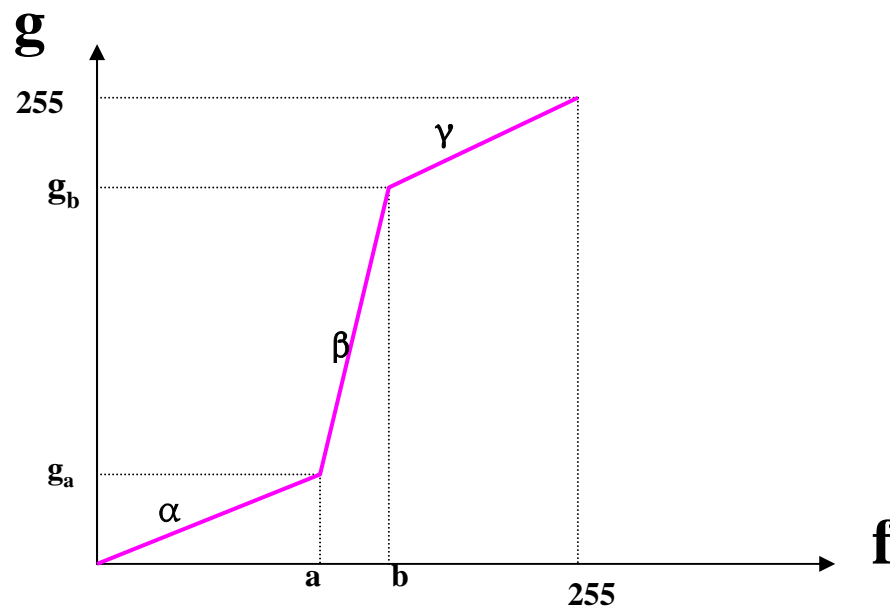
■ 灰度变换例 - 3

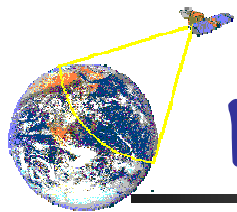
➤ 对比度展宽——突出图像中关心的部分

➤ 方法:

$$g = \begin{cases} \alpha f & 0 \leq f < a \\ \beta(f - a) + g_a & a \leq f < b \\ \gamma(f - b) + g_b & b \leq f < L \end{cases}$$

➤ 实例



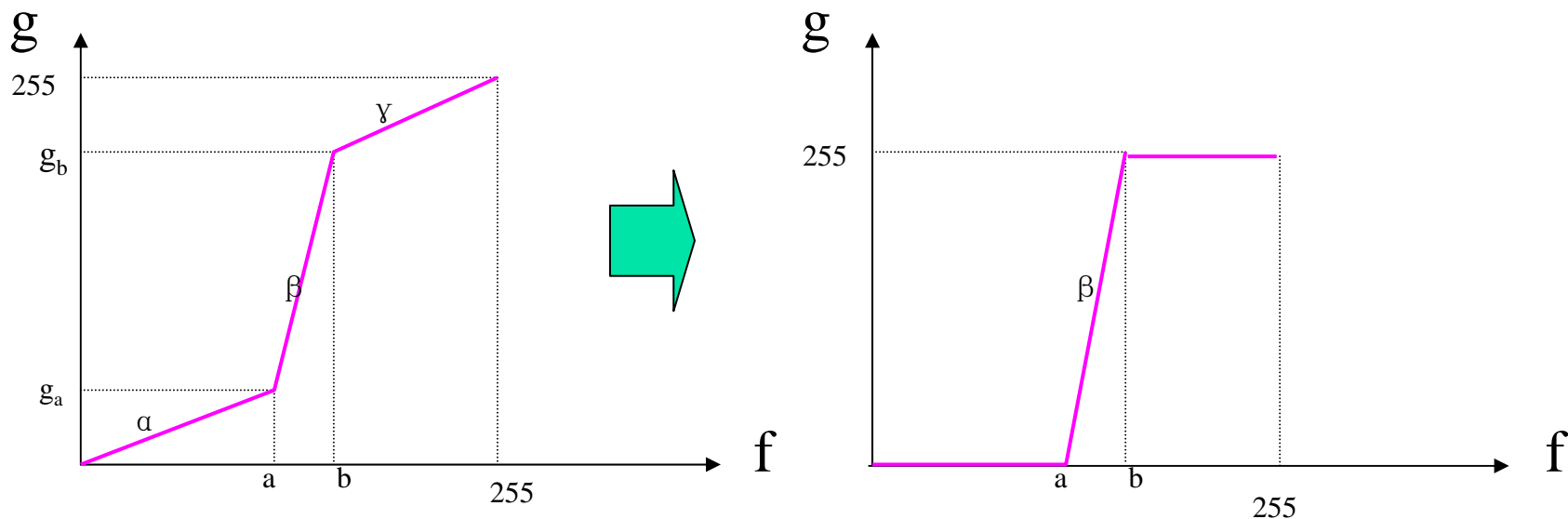


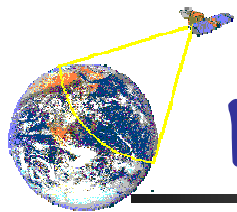
图像的空域变换—非几何变换

■ 灰度变换例 - 4

➤ 灰度窗——只显示指定灰度级范围内的信息。如：

$$\alpha = \gamma = 0$$



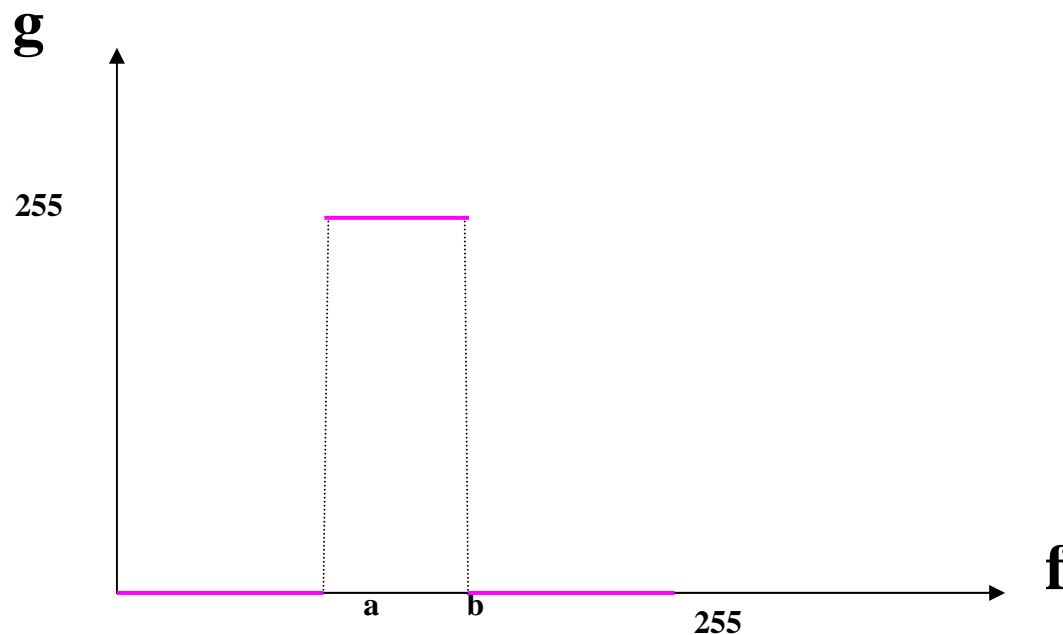


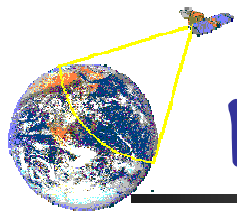
图像的空域变换——非几何变换

■ 灰度变换例 - 5

➤ 灰度级切片——只保留感兴趣的部分，其余部分
置为0

只关注形状





图像的空域变换——非几何变换

■ 灰度变换例 - 6

➤ 灰度级修正

记录装置中心光轴附近光衰减较小

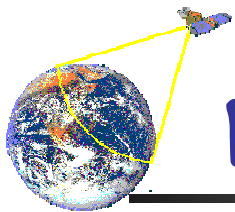
- ✓ 通过记录装置把一景物变成一幅图像时，景物上每一点所反射的光，并不是按同一比例转化成图像上相应点的灰度，靠近光轴的光要比远离光轴的光衰减得要少一些。
- ✓ 灰度级修正的目的是：使画面中的每个关心的细节信息通过灰度级修正之后，可以变得清楚可见。

例如：指数衰减律

$$I(x, y) = e(x, y) * g(x, y)$$

$$g(x, y) = e^{-1}(x, y) * I(x, y)$$

$e(x, y)$: 衰减函数
 $I(x, y)$: 待修正图像
 $g(x, y)$: 原图像
辨识 $e(x, y) \rightarrow g(x, y)$



图像的空域变换——非几何变换

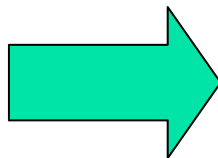
■ 灰度变换例 - 7

将区间[a,b]内的灰度值拉伸到[0,255]

➤ 线性动态范围调整:

$$h^*(x, y) = \begin{cases} 0 & h(x, y) \leq a \\ \frac{255}{b-a} h(x, y) - \frac{255a}{(b-a)} & h(x, y) \in (a, b) \\ 255 & h(x, y) \geq b \end{cases}$$

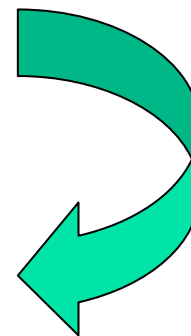
1	3	9	9	8
2	1	3	7	3
3	6	0	6	4
6	8	2	0	5
2	9	2	6	0



2	3	7	7	7
2	2	3	7	3
3	6	2	6	4
6	7	2	2	5
0	7	2	6	2

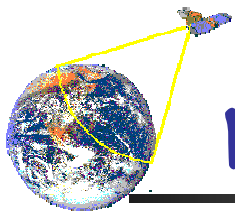
黑: 0 → 2
白: 9 → 7

$$y = 1.8 * x - 3.6$$



0	2	9	9	9
0	0	2	9	2
2	7	0	7	4
7	9	0	0	5
0	9	0	7	0

作用: 进行亮暗限幅



图像的空域变换—非几何变换

■ 灰度变换例 - 8

➤ 图像输入输出的Gamma失真

➤ Gamma校正

$$s = cr^\gamma$$

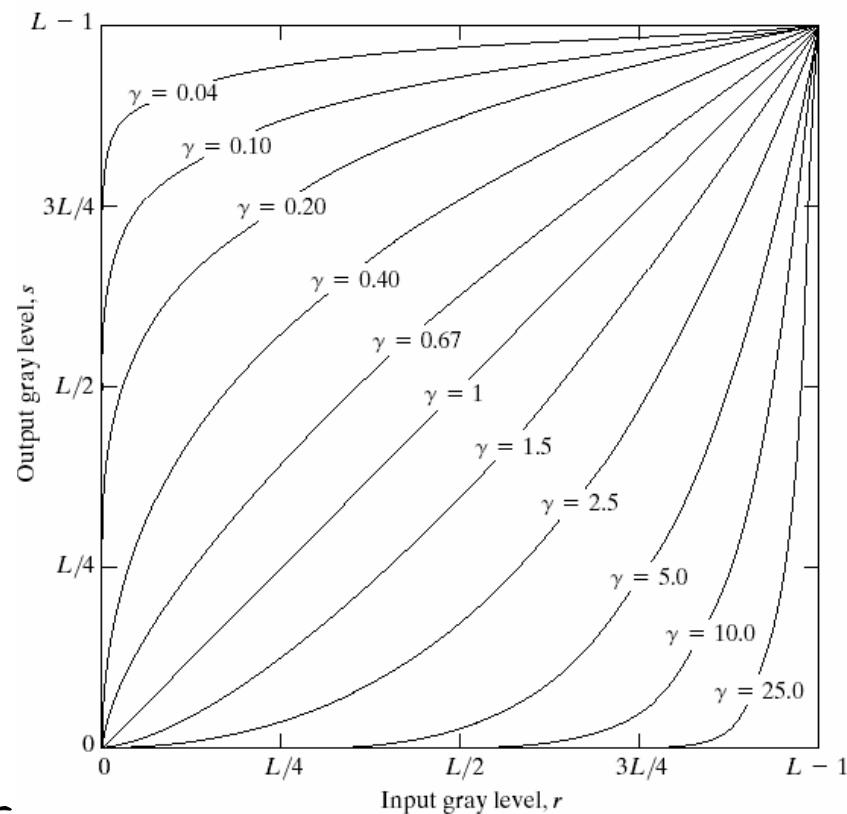
✓ 校正图像获取设备对于图像像素亮度相应的非线性

✓ 校正图像显示设备中输入信号与亮度显示之间的非线性关系

✓ 校正图像中不同像素值显示时的亮度感觉

❖ 人的感知觉，心理量和物理量一般呈对数关系

❖ 越暗处感觉越细，对同等光强的变化，暗处比亮处敏感



伽马校正说明 (1)

伽马失真:

实际应用中，许多显示设备，包括显示器和打印机等对图像像素的灰度值的响应为指数规律 (Power Law)。例如 CRT 显示器的响应指数为 2.5，图像输出：

$$s = r^{1/2.5} = r^{0.4}$$

产生的图像比期望要暗

伽马校正说明 (2)

伽马校正:

假定待校正像素值为 r ，校正后的像素值为 s ，像素值范围 $[0,255]$ ，则有校正公式:

$$s = 255 \times \left[\frac{r}{255} \right]^\gamma$$

← 归一化到 0-1 之间正数

$\gamma < 1$ ，提高灰度级，使图像变亮

$\gamma > 1$ ，降低灰度级，使图像变暗

伽马校正说明 (3)

- 例：人体胸上部脊椎骨折的核磁共振图像
- $\gamma < 1$ 提高灰度级，使图像变亮。 $c=1, \gamma = 0.6, 0.4, 0.3$



a b
c d

FIGURE 3.8
(a) Magnetic resonance (MR) image of a fractured human spine. (b)–(d) Results of applying the transformation in Eq. (3.2-3) with $c = 1$ and $\gamma = 0.6, 0.4$, and 0.3 , respectively. (Original image for this example courtesy of Dr. David R. Pickens, Department of Radiology and Radiological Sciences, Vanderbilt University Medical Center.)

$\gamma = 0.4$

增强效果最好

伽马校正说明 (4)

- 例：航空地面图像
- $\gamma > 1$ 降低灰度级，使图像变暗 $c=1, \gamma = 3, 4, 5$

a b
c d

FIGURE 3.9
(a) Aerial image.
(b)–(d) Results of
applying the
transformation in
Eq. (3.2-3) with
 $c = 1$ and
 $\gamma = 3.0, 4.0,$ and
 5.0 , respectively.
(Original image
for this example
courtesy of
NASA.)



$\gamma = 3$



$\gamma = 4$



$\gamma = 5$